

# Piano Strutturale variante generale

novembre 2011

*con le modifiche introdotte in sede di controdeduzione alle osservazioni*

## R.0 Relazione

progetto:

**ldp** [studio]

Stefania Rizzotti

Luca Gentili

collaborazione:

Tommaso Borghini, Stefano Niccolai,

Marco Benevieri e Sara Benevieri

indagini geologico-tecniche:

**G H E A**  
ENGINEERING & CONSULTING S.R.L.

Γ E A

Luca Pagliuzzi

con la collaborazione di Serena Vannetti

consulenza per gli aspetti agronomici:

Monica Coletta



Sindaco: Nazareno Betti

Assessore all'Urbanistica: Alberto Santini

Responsabile del procedimento: Simone Resti

# Comune di Pian di Scò

## INDICE

Premessa .....	1
Elaborati prodotti .....	2
Inquadramento generale .....	5
Sintesi delle conoscenze.....	7
Piano di Bacino del Fiume Arno .....	9
Analisi e approfondimenti .....	10
Elementi geologici.....	11
Inquadramento generale .....	12
Unità Tettoniche Toscane .....	12
Unità Tettonica Cervarola-Falterona .....	12
Successione del Pratomagno .....	12
Supersintema dei bacini intermontani.....	15
Sintema del Valdarno Superiore.....	15
Subsintema di Montevarchi .....	18
Subsintema di Monticello-Ciuffenna.....	22
Supersintema delle pianure alluvionali.....	24
Sintema del Fiume Arno .....	24
Coperture recenti .....	25
Elementi strutturali .....	26
Elementi litologico-tecnici.....	31
Dati di base.....	34
Elementi geomorfologici.....	35
Zona montana e pedemontana .....	35
Zona collinare e di pianalto .....	36
Zona di fondovalle .....	37
Cartografia delle forme e processi geomorfologici di versante .....	37
Aspetti idraulici.....	40
Aspetti idrogeologici .....	41
Idrografia.....	41
Caratteristiche di permeabilità .....	43
Formazioni permeabili per permeabilità primaria .....	43
Formazioni permeabili per permeabilità secondaria.....	47
Acquiferi freatici e Censimento dei pozzi .....	47
Effetti locali e di sito per la riduzione del rischio sismico .....	52
Valutazioni di pericolosità .....	56
Aree a pericolosità geomorfologica .....	56
Pericolosità geomorfologica molto elevata (G.4) .....	56
Pericolosità geomorfologica elevata (G.3) .....	57
Pericolosità geomorfologica media (G.2).....	57
Pericolosità geomorfologica bassa (G.1) .....	57
Aree a pericolosità idraulica .....	58
Pericolosità idraulica molto elevata (I.4).....	58
Pericolosità idraulica elevata (I.3) .....	59
Pericolosità idraulica media (I.2).....	59
Pericolosità idraulica bassa (I.1) .....	60
Aree con problematiche idrogeologiche .....	60
Aree a pericolosità sismica locale .....	60
Pericolosità sismica locale molto elevata (S.4).....	62
Pericolosità sismica locale elevata (S.3).....	62
Pericolosità sismica locale media (S.2).....	62
Pericolosità sismica locale bassa (S.1).....	62
Bibliografia.....	64
Allegato – Censimento pozzi	

## PREMESSA

La presente Relazione, redatta ai sensi del *Regolamento di attuazione dell'articolo 62 della legge regionale 3 gennaio 2005, n. 1 (Norme per il governo del territorio) in materia di indagini geologiche* (Decreto del Presidente della Giunta Regionale 27 aprile 2007 n. 26/R pubblicato nella Sezione I del Bollettino Ufficiale della Regione Toscana n. 11 del 7 maggio 2007), è di supporto alla *Variante generale al Piano Strutturale* del Comune di Pian di Scò.

Il nuovo Piano Strutturale andrà a sostituire il precedente, attualmente vigente, supportato da adeguate indagini geologico–tecniche redatte nel 2008 secondo la vigente normativa regionale di settore, di supporto alla *Variante n. 5 al Regolamento Urbanistico con contestuale Variante al Piano Strutturale*.

Le indagini geologico–tecniche sono dirette a verificare la pericolosità del territorio sotto il profilo geologico, idraulico e sismico, anche in attuazione degli atti di pianificazione sovraordinati.

Le indagini geologico–tecniche di corredo al Piano Strutturale del Comune di Pian di Scò sono state articolate in:

Sintesi delle conoscenze

Analisi ed approfondimenti

Valutazioni di pericolosità

## ELABORATI PRODOTTI

Le indagini geologico-tecniche di supporto al Piano Strutturale sono costituite dai seguenti elaborati, che andranno ad integrare e sostituire parte dei precedenti.

- R.0 Relazione
- 4.0 Carta dei dati di base (Scala 1:10.000)
- DB.5 Dati di base (1 volume)
- 5.0 Carta geomorfologica (Scala 1:10.000)
- 5.1 Carta geomorfologica (Scala 1:2.000)
- 5.2 Carta geomorfologica (Scala 1:2.000)
- 5.3 Carta geomorfologica (Scala 1:2.000)
- 5.4 Carta geomorfologica (Scala 1:2.000)
- 6.0 Carta idrogeologica (Scala 1:10.000)
- 6.0.1 Carta delle isofreatiche (Scala 1:10.000)
- 7.1 Carta delle Zone a Maggior Pericolosità Sismica Locale (Scala 1:2.000)
- 7.2 Carta delle Zone a Maggior Pericolosità Sismica Locale (Scala 1:2.000)
- 7.3 Carta delle Zone a Maggior Pericolosità Sismica Locale (Scala 1:2.000)
- 7.4 Carta delle Zone a Maggior Pericolosità Sismica Locale (Scala 1:2.000)
- 9.1.1 Piano di Bacino, Stralcio Assetto Idrogeologico, Perimetrazione delle aree a pericolosità da frana, livello di dettaglio, Stralcio n. 409 (Scala 1:10.000)
- 9.1.2 Piano di Bacino, Stralcio Assetto Idrogeologico, Perimetrazione delle aree a pericolosità da frana, livello di dettaglio, Stralcio n. 410 (Scala 1:10.000)
- 9.1.3 Piano di Bacino, Stralcio Assetto Idrogeologico, Perimetrazione delle aree a pericolosità da frana, livello di dettaglio, Stralcio n. 443 (Scala 1:10.000)
- 9.1.4 Piano di Bacino, Stralcio Assetto Idrogeologico, Perimetrazione delle aree a pericolosità da frana, livello di dettaglio, Stralcio n. 444 (Scala 1:10.000)
- 9.1.5 Piano di Bacino, Stralcio Assetto Idrogeologico, Perimetrazione delle aree a pericolosità da frana, livello di dettaglio, Stralcio n. 476 (Scala 1:10.000)
- 9.1.6 Piano di Bacino, Stralcio Assetto Idrogeologico, Perimetrazione delle aree a pericolosità da frana, livello di dettaglio, Stralcio n. 477 (Scala 1:10.000)
- 9.1.7 Piano di Bacino, Stralcio Assetto Idrogeologico, Perimetrazione delle aree a pericolosità da frana, livello di dettaglio, Stralcio n. 478 (Scala 1:10.000)

- 9.2.1 Piano di Bacino, Stralcio Assetto Idrogeologico, Perimetrazione delle aree a pericolosità da frana, livello di sintesi, Stralcio n. 70 (Scala 1:25.000)
- 9.2.2 Piano di Bacino, Stralcio Assetto Idrogeologico, Perimetrazione delle aree a pericolosità da frana, livello di sintesi, Stralcio n. 85 (Scala 1:25.000)
- 11.0 Carta delle aree a pericolosità geomorfologica (Scala 1:10.000)
- 11.1 Carta delle aree a pericolosità geomorfologica (Scala 1:2.000)
- 11.2 Carta delle aree a pericolosità geomorfologica (Scala 1:2.000)
- 11.3 Carta delle aree a pericolosità geomorfologica (Scala 1:2.000)
- 11.4 Carta delle aree a pericolosità geomorfologica (Scala 1:2.000)
- 13.1 Carta delle aree a pericolosità sismica (Scala 1:2.000)
- 13.2 Carta delle aree a pericolosità sismica (Scala 1:2.000)
- 13.3 Carta delle aree a pericolosità sismica (Scala 1:2.000)
- 13.4 Carta delle aree a pericolosità sismica (Scala 1:2.000)

Rimarranno invece invariati i seguenti elaborati:

- 1.0 Carta geologica (Scala 1:10.000)
- 2.0 Sezione geologica (Scala 1:10.000)
- 3.0 Carta litologico-tecnica (Scala 1:10.000)
- 3.1 Carta litologico-tecnica (Scala 1:2.000)
- 3.2 Carta litologico-tecnica (Scala 1:2.000)
- 3.3 Carta litologico-tecnica (Scala 1:2.000)
- 3.4 Carta litologico-tecnica (Scala 1:2.000)
- Dati di base (5 volumi)
- 8.1.1 Piano di Bacino, Stralcio Assetto Idrogeologico, Perimetrazione delle aree con pericolosità idraulica, livello di dettaglio, Stralcio n. 476 (Scala 1:10.000)
- 8.1.2 Piano di Bacino, Stralcio Assetto Idrogeologico, Perimetrazione delle aree con pericolosità idraulica, livello di dettaglio, Stralcio n. 477 (Scala 1:10.000)
- 8.1.3 Piano di Bacino, Stralcio Assetto Idrogeologico, Perimetrazione delle aree con pericolosità idraulica, livello di dettaglio, Stralcio n. 510 (Scala 1:10.000)
- 8.2.1 Piano di Bacino, Stralcio Assetto Idrogeologico, Perimetrazione delle aree con pericolosità idraulica, livello di sintesi, Stralcio n. 70 (Scala 1:25.000)
- 8.2.2 Piano di Bacino, Stralcio Assetto Idrogeologico, Perimetrazione delle aree con pericolosità idraulica, livello di sintesi, Stralcio n. 85 (Scala 1:25.000)
- Relazione idraulica

- 10.1 Carta delle inondazioni storiche (Scala 1:10.000)
- 10.2 Carta dei vincoli idraulici sovraordinati (Scala 1:10.000)
- 10.3 Carta dell'allagabilità per i centri abitati – stato attuale (Scala 1:5.000)
- 10.4 Interventi di mitigazione e carta dell'allagabilità allo stato modificato (Scala 1:2.000)
- 10.5 Carta delle aree allagabili – stato attuale e modificato (Scala 1:10.000)
- 12.0/a Carta delle aree a pericolosità idraulica – stato attuale (Scala 1:10.000)
- 12.0/p Carta delle aree a pericolosità idraulica – stato modificato (Scala 1:10.000)
- 12.1 Carta delle aree a pericolosità idraulica (Scala 1:2.000)
- 12.2 Carta delle aree a pericolosità idraulica (Scala 1:2.000)
- 12.3 Carta delle aree a pericolosità idraulica (Scala 1:2.000)
- 12.4 Carta delle aree a pericolosità idraulica (Scala 1:2.000)

Le indagini sono state condotte sull'intero territorio comunale alla scala 1:10.000, con approfondimento di alcuni tematismi (geomorfologia, aspetti sismici locali, pericolosità geomorfologica e sismica) ad una scala di maggior dettaglio (1:2.000) in corrispondenza dei centri abitati (Pian di Scò, Faella, Vaggio, Matassino, Ontaneto e Montalpero).

## **INQUADRAMENTO GENERALE**

Il Comune di Pian di Scò si trova sul versante orientale del bacino del Valdarno Superiore, ed il suo territorio ha una forma allungata sud-ovest nord-est, trasversale rispetto all'asse del bacino, disposta sud-est nord-ovest.

La superficie del territorio comunale è di 18.43 km<sup>2</sup>, pari a 1843 ha.

Nella cartografia della Carta Tecnica Regionale il territorio di Pian di Scò rientra nelle seguenti Sezioni, in scala 1:10.000: 276110, 276120, 276140 e 276150.

Il territorio comunale si estende dalla pianura alluvionale dell'Arno fino alla catena del Pratomagno, con una altimetria minima di circa 125 m, in corrispondenza dell'abitato di Matassino, fino a 1.131 m, in corrispondenza del Monte Acuto.

La morfologia del territorio, estremamente variabile, ma strettamente legata alla litologia dei terreni affioranti, si sviluppa in paesaggi fortemente differenti tra loro, che mostrano andamenti all'incirca paralleli all'asse del bacino.

La pianura alluvionale dell'Arno occupa una porzione limitata del territorio comunale, dall'abitato di Montalpero fino a quello del Matassino, che segnano il confine con il territorio del Comune di Figline Valdarno.

Pianure alluvionali minori, ma di notevole importanza per il territorio comunale, sono quelle originate dal Torrente Faella e dal Torrente Resco.

Entrambi questi corsi d'acqua costituiscono affluenti di destra dell'Arno e segnano, rispettivamente, per tratti molto estesi, i confini con i comuni di Castelfranco di Sopra e di Reggello.

La fascia di territorio che si trova immediatamente a monte dei depositi alluvionali, delimitata da quelli deposti dall'Arno, dal Faella e dal Resco, presenta forme dolci tipiche dei depositi palustro-lacustri a litologia limoso argillosa prevalente, che raccordano le pianure alluvionali ai depositi granulari che contraddistinguono le cosiddette "balze".

Questa morfologia è il frutto dell'azione delle forme dovute alla gravità ed all'azione delle acque, sia libere che incanalate, che agendo su litologie limoso-argillose, generano forme mammellari.

A monte di questa fascia dalle forme dolci è presente una fascia con forme molto più aspre, dovute alla presenza di depositi granulari costituiti da sabbie, ghiaie e ciottolami. Si tratta delle "balze", unità morfologica tipica del Valdarno Superiore.

Al tetto delle balze è presente un pianalto, corrispondente alla superficie di chiusura dei depositi fluvio-lacustri del Valdarno Superiore, che raccorda le balze al massiccio del Pratomagno.

Quest'ultimo paesaggio è rappresentato dal versante occidentale della catena montuosa preappenninica ove affiorano estesamente depositi arenacei di origine torbiditica.



## SINTESI DELLE CONOSCENZE

La sintesi delle conoscenze, realizzata ai sensi delle direttive per le indagini geologico-tecniche allegata al Decreto del Presidente della Giunta Regionale 27 aprile 2007 n. 26/R, comprende la raccolta della documentazione relativa al quadro conoscitivo esistente e certificato come quello derivante dai Piani di Bacino, dal Piano di Indirizzo Territoriale, dai Piani Territoriali di Coordinamento provinciali, al fine di inquadrare le problematiche ed i vincoli presenti sul territorio e sulla cui base effettuare le successive analisi ed elaborazioni.

La sintesi delle conoscenze è stata articolata nelle seguenti attività:

- Consultazione della Cartografia geologica regionale (Progetto CARG);
- Consultazione del Piano di Bacino redatto dall'Autorità di Bacino del Fiume Arno;
- Consultazione del Piano di Indirizzo Territoriale della Regione Toscana (P.I.T.);
- Consultazione del Piano Territoriale di Coordinamento della Provincia di Arezzo (P.T.C.P.);
- Consultazione dell'Inventario dei Fenomeni Franosi Italiani, progetto I.F.F.I., realizzato a cura dell'A.P.A.T. Agenzia per la Protezione dell'Ambiente e per i Servizi Tecnici e della Regione Toscana;
- Consultazione delle Indagini geologico-tecniche di supporto alla pianificazione urbanistica del Comune di Pian di Scò redatte dal geologo Silvio Cazzante negli anni 1992 e 1998;
- Ricerca dei dati di base litostratigrafici e geotecnici presenti negli archivi comunali;
- Studi di foto interpretazione effettuati su foto in visione stereoscopica dei voli presenti presso la Regione Toscana; in particolare il Volo Pian di Scò 2007, effettuato dalla ditta Rossi Luigi alla scala 7.500, e che è servito per l'aggiornamento della Carta geomorfologica ed i successivi approfondimenti e derivazioni.

- Ricerca bibliografica riguardante studi di carattere geologico in senso lato aventi ad oggetto il territorio comunale.

## **PIANO DI BACINO DEL FIUME ARNO**

Per quanto riguarda il Piano di Bacino del Fiume Arno, si è provveduto alla verifica della coerenza tra il quadro conoscitivo del Piano Strutturale in corso di formazione ed il Piano di Bacino, stralcio Assetto Idrogeologico (PAI), ai sensi dell'art. 27 delle Norme di Attuazione del Piano di Bacino.

In particolare, di concerto con la struttura tecnica dell'Autorità di Bacino, procedendo ad una verifica di coerenza tra i due strumenti pianificatori, sono risultate, vista la recente strumentazione urbanistica comunale, alcune lievi difformità ed incongruenze tra gli elaborati costituenti il quadro conoscitivo del Piano Strutturale in via di adozione e la cartografia del Piano di Bacino relativi alla pericolosità geomorfologica.

E' stata pertanto richiesta integrazione e rettifica del Piano di Bacino, ai sensi dell'articolo 32 delle Norme di Attuazione.

La nuova cartografia del Piano di Bacino, stralcio Assetto Idrogeologico, costituisce parte degli elaborati del Piano Strutturale.

## ANALISI E APPROFONDIMENTI

Successivamente alla raccolta dei dati precedenti sono stati effettuati approfondimenti di carattere geologico, strutturale, geomorfologico, idrogeologico, geotecnico, sismico ed idraulico, al fine di aggiornare ed integrare le conoscenze riguardanti il territorio.

Si è anzitutto proceduto ad un rilevamento di carattere litostratigrafico, strutturale e geomorfologico basato sulla cartografia geologica regionale, supportato da un accurato lavoro di fotointerpretazione eseguita su fotogrammi relativi a vari voli effettuati negli ultimi 30 anni, reperiti presso l'Archivio foto-cartografico della Regione Toscana.

Per i dati relativi agli aspetti idrogeologici, oltre che sul rilevamento geologico e su quanto è stato possibile reperire nella precedente fase di sintesi delle conoscenze, si è effettuata una campagna di misurazioni freaticometriche sui pozzi presenti nelle aree di fondovalle, praticamente coincidenti con le pianure alluvionali.

Relativamente agli aspetti di carattere idraulico è stato effettuato uno studio specifico allegato al Piano Strutturale ed al quale si rimanda.

Gli approfondimenti si sono concretizzati nella realizzazione di tematismi di carattere geologico, idrogeologico, geomorfologico e sismico, rappresentati mediante cartografie alla scala 1:10.000 per l'intero territorio comunale e 1:2.000 per i centri abitati.

## ELEMENTI GEOLOGICI

Il territorio comunale è posto all'interno di un'ampia depressione tettonica, allungata in direzione nord-ovest sud-est e bordata a nord est e a sud ovest rispettivamente dalla dorsale del Pratomagno e dai Monti del Chianti; in tale depressione si è sviluppato durante il Plio-Pleistocene il bacino sedimentario fluvio-lacustre del Valdarno Superiore.

Le caratteristiche stratigrafiche e strutturali di questa depressione, come del resto quelle degli altri bacini intermontani dell'Appennino (figura 1), sono state riferite fin dalla metà del secolo scorso (Trevisan, 1952) all'impostazione di un regime tettonico distensivo post-orogenico con il conseguente sviluppo di tutti i bacini intermontani dell'Appennino centro settentrionale. La spinta orogenica, iniziata nell'Oligocene superiore, avrebbe subito nel tempo un continuo spostamento verso est, lasciando il posto ad una fase estensionale che avrebbe indotto la formazione di numerose depressioni, tra le quali il Valdarno stesso.

Il margine sud occidentale del bacino è impostato su terreni dell'Unità Toscana non Metamorfica, mentre quello del margine nord orientale su terreni riferibili all'Unità Cervarola-Falterona.

Il margine del Pratomagno è interessato da un sistema di faglie ad alto angolo in corrispondenza delle quali si sono registrati movimenti verticali con rigetto complessivo nell'ordine dei 1000-1500 m (Abbate *et al.*, 1991; Cecchi, 1992). Movimenti di tale entità non sono stati individuati in corrispondenza del margine dei Monti del Chianti, pertanto la struttura è assimilabile ad una del tipo a *semigraben* (figura 3).

Successivamente sono state sviluppate nuove ipotesi che inquadrano diversamente l'origine e lo sviluppo dei vari bacini neogenici (Boccaletti *et al.*, 1994). Secondo queste teorie gran parte dei bacini intermontani, tra cui il Valdarno, si sarebbero originati ed evoluti in un regime tettonico prevalentemente compressivo (bacini tipo *piggy back* o *thrust top* - figura 2). Nei sedimenti del Valdarno sono in effetti presenti strut-

ture plicative riconducibili probabilmente alla riattivazione del thrust dell'Unità Toscana sull'Unità Cervarola–Falterona avvenuta su scala regionale nel Pliocene medio (Bernini *et al.*, 1990; Boccaletti *et al.*, 1992).

## **INQUADRAMENTO GENERALE**

Il territorio comunale occupa una parte del margine nord orientale, in corrispondenza della dorsale del Pratomagno, e della porzione centrale della depressione tettonica costituente il Valdarno Superiore.

Si può suddividere schematicamente il territorio comunale, da un punto di vista geologico, in tre zone principali: una **zona montana e pedemontana**, corrispondente al margine nord orientale del bacino, impostata su terreni litoidi riferibili alle Unità Tettoniche Toscane, in particolare all'Unità Tettonica Cervarola–Falterona, Successione del Pratomagno, costituenti il substrato dei depositi fluvio–lacustri e palustri; una **zona collinare e di pianalto**, impostata sui depositi di ambiente fluvio–lacustre e palustre che hanno riempito la depressione tettonica del Valdarno Superiore, costituenti il Sintema del Valdarno Superiore appartenente al Supersintema dei Bacini Intermontani; ed infine una **zona di fondovalle**, impostata su depositi alluvionali del Fiume Arno e dei suoi affluenti (Torrente Resco e Torrente Faella), riferibili al Sintema del Fiume Arno.

## **UNITÀ TETTONICHE TOSCANE**

### **UNITÀ TETTONICA CERVAROLA–FALTERONA**

#### **Successione del Pratomagno**

L'Unità Tettonica Cervarola–Falterona, affiorante nella parte altimetricamente più elevata del territorio comunale, costituisce, lungo il margine nord orientale del Valdarno Superiore, il substrato dei depositi fluvio–lacustri, ed è rappresentata in affioramento esclusivamente dalla propria porzione arenaceo–torbida oligo–miocenica,

costituita da una potente successione denominata Successione del Pratomagno (Abbate & Bruni, 1987). In tale porzione dell'Unità Cervarola-Falterona si distinguono tradizionalmente le Arenarie del Monte Falterona alla base (indicate come Macigno nei Fogli in scala 1:100.000 della Carta Geologica d'Italia, come Cervarola Complesso A in Guenther & Reutter, 1985, come Complesso A in Signorini, 1936, come Macigno A in Losacco, 1963) e le Arenarie del Monte Cervarola (Nardi & Tongiorgi, 1962) al tetto (indicate come Complesso B in Signorini, 1936 e Signorini, 1945, come Macigno B in Losacco, 1963, come Macigno del Mugello e Formazione di Londa nei Fogli n. 114 e n. 106 in scala 1:100.000 della Carta Geologica d'Italia).

Nell'area esaminata è stata riconosciuta solo la formazione delle Arenarie del Monte Falterona.

#### Arenarie del Monte Falterona (aF)

Si tratta di arenarie torbiditiche quarzoso-feldspatiche di colore dal grigio azzurro, al grigio verde o grigio scuro al taglio fresco e giallo ocracee alla alterazione, di granulometria medio grossolana, gradate, alternate a livelli siltoso argillosi di colore marrone chiaro o verdastro; subordinatamente argilliti e siltiti nere in livelli sottili o poco spessi (da 1 cm ad 1 m). Più rare, ma con aumento in frequenza verso il tetto della formazione, sono le torbiditi carbonatiche. Talvolta si rilevano livelli e /o lenticelle carboniosi millimetrici o centimetrici di colore da bruno a nerastro.

Lo spessore degli strati arenacei varia da pochi centimetri a vari metri: il più potente strato osservato nella dorsale del Pratomagno è spesso circa 12 m.

La base della formazione in questa area non affiora; l'unità raggiunge uno spessore massimo affiorante di circa 1500 m. Dato che Abbate *et al.* (1991), in corrispondenza del Pratomagno, calcolano la base dell'Unità Cervarola - Falterona a circa 1500 m sotto il livello del mare, e nel presupposto che il Mesozoico ed il Terziario siano intorno ai 500 m, lo spessore delle Arenarie del Monte Falterona potrebbe essere compreso tra i 2.000 ed i 2.500 m.

La successione sedimentaria, dal basso verso l'alto, mostra delle variazioni rispetto a vari parametri stratimetrici, sedimentologici, granulometrici e litologici con trends ben definiti, tra cui si rileva: un aumento del rapporto arenaria/pelite, una diminuzione dello spessore medio degli strati, una diminuzione del numero di questi ultimi che presentano l'intervallo Bouma "a" (Bouma, 1962) ed un parallelo aumento del numero di quelli che alla base presentano invece gli intervalli Bouma "b" o "c"; inoltre mentre nella parte bassa le torbiditi carbonatiche sono rappresentate da occasionali strati fini e sottili, nella porzione media e alta le torbiditi carbonatiche sono frequenti ed il loro spessore arriva anche ad alcuni metri.

Per le suddivisioni interne a questa formazione si è fatto riferimento alle unità litostratigrafiche, definite nelle sezioni in scala 1:10.000 n. 276110, n. 276120 e n. 276150 della Carta Geologica della Regione Toscana, progetto CARG, denominate rispettivamente dal basso verso l'alto della successione sedimentaria: Membro di Monte Falco ( $Fal_1$ ), Membro di Camaldoli ( $Fal_2$ ) e Membro di Lonnano ( $Fal_3$ ). La differenziazione tra i vari membri è basata essenzialmente sul rapporto arenaria/pelite.

Per quanto riguarda l'età delle Arenarie del Monte Falterona nel Pratomagno ed in aree interne dell'Unità Cervarola – Falterona, le faune note non raggiungono il Miocene (Fazzuoli *et al.*, 1985 cum bibl.), mentre negli affioramenti più orientali, cioè quelli più esterni in prossimità del sovrascorrimento sulla Marnoso Arenacea del Dominio Umbro/Marchigiano/Romagnolo (Badia Prataglia, Monte Falterona) il Miocene inferiore è segnalato fin dal contatto con gli Scisti Varicolori (Abbate & Bruni, 1987 cum bibl.).

#### *Membro di Monte Falco ( $Fal_1$ )*

Arenarie grigio azzurre e grigio verdi in strati spessi e frequentemente amalgamati, con base grossolana e microconglomeratica, pelite quasi assente.



Il rapporto arenaria/pelite è maggiore di 10 ( $A/P > 10$ ). Sono presenti rari strati di spessore per lo più nell'ordine di alcuni decimetri costituiti da areniti carbonatiche e marne.

L'età è riferibile all'Oligocene superiore.

#### *Membro di Camaldoli (Fa<sub>2</sub>)*

Arenarie prevalenti e subordinate peliti con rapporto arenaria/pelite compreso tra 2 e 10 ( $2 < A/P < 10$ ) in strati da medi a spessi, localmente amalgamati.

Sono presenti pochi strati, generalmente di spessore inferiore al metro, costituiti da areniti carbonatiche e marne.

L'età è riferibile all'Oligocene superiore – Miocene basale.

#### *Membro di Lonnano (Fa<sub>3</sub>)*

Si tratta di un'alternanza di arenarie e peliti con rapporto arenaria/pelite compreso tra 1/3 e 2 ( $1/3 < A/P < 2$ ) in strati da sottili a spessi, eccezionalmente in banchi.

Sono presenti strati a composizione carbonatica: areniti carbonatiche e marne di colore grigio più o meno scuro al taglio fresco e da grigio giallastro a grigio chiaro all'alterazione, di spessore variabile da pochi decimetri ad alcuni metri.

L'età è Miocene basale.

### **SUPERSINTEMA DEI BACINI INTERMONTANI**

#### **Sintema del Valdarno Superiore**

Il bacino sedimentario del Valdarno Superiore è stato riempito da depositi fluvio-lacustri, con spessori massimi nell'ordine dei 550 m in corrispondenza del centro del bacino, appartenenti al Sintema del Valdarno Superiore (Supersintema dei bacini intermontani), che si sono originati in tre fasi deposizionali principali (Sestini, 1936;

Merla & Abbate, 1967; Azzaroli & Lazzeri, 1977; Abbate, 1983; Magi, 1989; Sagri, 1991), separate da altrettanti discordanze, hiatus e superfici di erosione (figure 3 e 4).

Durante il Pliocene medio si formarono due piccoli bacini in prossimità della dorsale dei Monti del Chianti nelle zone di Castelnuovo dei Sabbioni e di Palazzolo in corrispondenza dei quali si sono originati i sedimenti appartenenti alla prima fase fluvio-lacustre denominata Subsistema di Castelnuovo dei Sabbioni.

Su questa successione poggiano, in discordanza, i terreni basali appartenenti al Subsistema di Montevarchi depositi durante la seconda fase deposizionale.

Il passaggio alla seconda fase è legato all'ampliamento della depressione valdarnese in seguito allo sviluppo di un'intensa attività tettonica che ha determinato la formazione di un lago molto esteso, ma poco profondo.

Il Subsistema di Montevarchi, originatosi nel Pliocene superiore-Pleistocene inferiore, è costituito da sedimenti lacustro-palustri nella parte centrale del bacino e da depositi di delta conoide nelle zone marginali.

I sedimenti del secondo ciclo, con assetto sub-orizzontale, giacciono ai margini del bacino in discordanza su quelli del primo.

Le abbondanti faune a mammiferi ed i pollini rinvenuti indicano un clima fresco ed umido con episodi leggermente più aridi (Bertini, 1985).

Tra la seconda e la terza fase si è avuto un periodo di stasi tettonica nei bordi del bacino e quindi un notevole calo negli apporti sedimentari con lo sviluppo di un'intensa pedogenesi al tetto dei sedimenti del secondo ciclo, che avevano completamente colmato la depressione valdarnese.

La terza fase inizia nel Pleistocene medio con la ripresa della sedimentazione nelle conoidi poste sui fianchi del bacino e la deposizione di sedimenti fluviali da parte dell'Arno che precedentemente confluiva nella Val di Chiana (Bartolini e Pranzini,

1981).

I depositi di questa terza fase sono rappresentati dal Subsistema di Monticello-Ciuffenna, costituito da sedimenti fluviali del paleo Arno e sedimenti di conoide alluvionale sui versanti della dorsale del Pratomagno e su quella dei Monti del Chianti.

I sedimenti della terza fase giacciono verso i margini del bacino su quelli della seconda, con una leggera lacuna evidenziata da paleosuoli, mentre nella parte centrale sono concordanti, separati dai sottostanti della seconda fase, da una superficie erosiva (Magi, 1989).

La successiva fase erosiva, attivata dalla cattura delle acque del Valdarno Superiore da parte della Sieve, ha determinato una profonda incisione dei depositi fluvio-lacustri da parte dell'Arno e dei suoi affluenti; infatti il fondovalle è attualmente circa 150 m più basso della superficie di colmamento fluvio-lacustre.

Nel Pleistocene superiore l'Arno iniziò ad erodere i depositi precedentemente formati a seguito dell'incisione della soglia di Incisa (Bartolini & Pranzini, 1981), formando estesi terrazzi (Mancini & Romagnoli, 1966) soprattutto lungo i suoi affluenti principali e successivamente originando depositi alluvionali, raggruppati nel Sistema del Fiume Arno (Supersistema delle pianure alluvionali).

I depositi fluvio-lacustri valdarnesi presentano forme di erosione strettamente legate alla litologia che hanno prodotto paesaggi caratteristici: pareti sub-verticali nei terreni incoerenti (ciottolami e sabbie) denominate "balze", che arretrano progressivamente per crolli successivi; basse colline con deboli pendii e forme dolci nei terreni coesivi (limi e argille), dove il soliflusso e le frane di colamento rappresentano i principali agenti morfogenetici.

Nel territorio comunale affiorano terreni riferibili alla seconda e alla terza fase riferibili rispettivamente al Subsistema di Montevarchi e al Subsistema di Monticello-Ciuffenna.

### **Subsintema di Montevarchi**

I depositi di questa successione si sono originati nel Pliocene superiore–Pleistocene inferiore in un bacino palustre–lacustre di vaste dimensioni che occupava l'intera vallata.

L'ampliamento del bacino valdarnese, avvenuto tra il primo ed il secondo ciclo sedimentario, è stato determinato da movimenti tettonici successivi alla deposizione della prima fase deposizionale.

I sedimenti del secondo ciclo, aventi generalmente un assetto sub–orizzontale, giacciono, al margine occidentale del bacino, in discordanza su quelli del primo, basculati dai movimenti tettonici avvenuti nel periodo compreso fra la deposizione delle due successioni.

Durante questa fase si sono originati depositi palustro–lacustri nella parte centrale del bacino, occupata da una vasta palude, e depositi di delta–conoide nelle zone marginali.

Le abbondanti faune a mammiferi ed i pollini rinvenuti indicano un clima fresco ed umido con episodi leggermente più aridi.

Tra la seconda e la terza fase è avvenuta una stasi tettonica ed un calo negli apporti sedimentari e lo sviluppo di un'intensa pedogenesi al tetto dei sedimenti del secondo ciclo.

### **Limi di Terranuova (IT)**

Sedimenti che costituiscono l'unità stratigraficamente e geometricamente inferiore dei depositi del Subsintema di Montevarchi.

Nella facies tipica sono costituiti da limi, limi argillosi e limi sabbiosi, di colore grigio oppure grigio azzurro, in banchi e strati poco evidenti, di regola massicci, con giacitura prevalentemente sub–orizzontale, con frequenti intercalazioni di livelli di sabbie e sabbie limose di colore grigio oppure giallastro, talvolta arrossate.

Il passaggio alle sovrastanti Argille del Torrente Ascione avviene gradualmente,

per il progressivo aumento della componente argillosa e la comparsa di livelli di torba o di sedimenti ricchi di sostanza organica. Il passaggio tra le due unità è difficilmente definibile data la gradualità della transizione.

I Limi di Terranuova si sono originati in ambiente palustro-lacustre. La presenza di numerosi paleosuoli indica periodi di disseccamento del fondo del lago con conseguente colonizzazione da parte della vegetazione.

I Limi di Terranuova si depongono in un ambiente con clima caldo, interessato da episodi più freschi ed umidi.

Questa formazione, che supera un centinaio di metri di spessore, è attribuibile al Pliocene terminale-Pleistocene inferiore.

#### Argille del Torrente Ascione (aA)

Nella facies tipica sono costituite da argille grigio azzurre e limi argillosi in banchi metrici contenenti livelli di torba; questi sedimenti presentano spesso intercalazioni di sabbie e sabbie ciottolose giallastre. Le lenti di materiali grossolani aumentano verso il margine del bacino, accompagnate da una diminuzione della frazione di sostanze organiche nei sedimenti.

Lo spessore di questa unità aumenta gradualmente spostandosi dal margine verso il centro del bacino da un minimo di 5 m ad un massimo di 25 m.

Le Argille del torrente Ascione poggiano in continuità sui Limi di Terranuova e passano verso l'alto alla formazione dei Limi e sabbie del Torrente Oreno.

Il passaggio al tetto, come quello alla base, avviene gradualmente per diminuzione della componente argillosa e scomparsa dei livelli di torba.

Questi terreni costituiscono un orizzonte esteso in tutto il bacino la cui deposizione è stata correlata ad un periodo con ridotti apporti terrigeni grossolani ed una notevole espansione della vegetazione acquatica.

I pollini indicano un'alternanza di fasi caldo umide e fasi fresche durante le quali il livello del lago subiva notevoli oscillazioni.

Le argille torbose si sono deposte così in un ambiente lacustre ricco di piante acquatiche soggetto a saltuari periodi di prosciugamento con conseguente formazione di suoli, mentre le sabbie si sono accumulate in un ambiente di conoide distale, soggetto a periodiche inondazioni in grado di deporre i corpi sedimentari più grossolani.

L'età di questa unità è riferibile al Pliocene superiore–Pleistocene inferiore.

#### Limi e Sabbie del Torrente Oreno (IsO)

Si tratta di depositi palustro–lacustri costituiti da un'alternanza regolare di limi e di argille limoso – sabbiose di colore grigio azzurro, di spessore variabile fino ad un massimo di 50 m.

Le porzioni sabbiose di questa unità, che si presentano generalmente massive e talora con laminazioni piano parallele, si sono deposte nella parte più distale delle delta conoidi, presenti soprattutto nella parte nord orientale del bacino del Valdarno Superiore, mentre queste progradavano verso il centro del bacino stesso. In queste porzioni sono presenti anche lenti di materiale più grossolano, costituito da conglomerati ad elementi arenacei, spessi al massimo 40 cm.

L'ambiente deposizionale di questa unità può essere ricondotto ad un ambiente palustre o lacustre poco profondo soggetto a frequenti prosciugamenti. Sono infatti presenti livelli arrossati e paleosuoli che indicano emersioni legate a periodi di parziale disseccamento del lago.

Questi sedimenti passano lateralmente e superiormente ai depositi di delta conoide della stessa successione.

L'età è riferibile al Pliocene superiore–Pleistocene inferiore.

#### Sabbie di Borro Cave (sBC)

Depositi di delta conoide costituiti da un'alternanza di sabbie di colore giallastro, sabbie limose e limi sabbioso argillosi di colore grigio o grigio giallastro con intercalazioni di banchi di argille limoso sabbiose di colore grigio azzurrognolo e lenti di

ciottolami ad elementi arenacei e presenza di paleosuoli.

Gli strati hanno uno spessore variabile da alcuni decimetri ad alcuni metri.

Questi depositi costituiscono la zona di transizione e la porzione subacquea degli apparati di delta conoide.

L'età è riferibile al Pliocene superiore–Pleistocene inferiore.

Lo spessore raggiunge alcune decine di metri.

I depositi di questa unità passano lateralmente verso il centro del bacino ed inferiormente ai sedimenti palustro lacustri del Subsistema di Montevarchi , lateralmente e superiormente passano invece, gradualmente, all'unità litostratigrafica denominata Ciottolami e sabbie di Casa la Querce.

#### Ciottolami e Sabbie di Casa La Querce (cCQ)

Depositi di canali fluviali intrecciati originati nella porzione medio inferiore delle conoidi alluvionali, formatesi sul versante valdarnese del massiccio del Pratomagno.

Si tratta di un'alternanza irregolare di banchi e lenti sabbiose o sabbioso-limose e ciottolami ad elementi arenacei. La dimensione degli elementi arenacei raggiunge alcune decine di centimetri. I ciottolami prevalgono verso i margini del bacino, mentre le litologie a granulometria più fine verso il centro.

Il colore dei ciottolami arenacei, solitamente alterati, è ocraceo o bruno rossastro, quello degli strati sabbiosi e di quelli limosi varia dal grigio giallastro al giallo ocraceo.

Il passaggio laterale e superiore ai Ciottolami della Penna è graduale. Lateralmente, verso valle, ed inferiormente si passa, sempre in maniera graduale, alle Sabbie di Borro Cave.

L'età di questa unità è Pliocene superiore–Pleistocene inferiore.

Lo spessore massimo è nell'ordine di alcune decine di metri.

### Ciottolami della Penna (cP)

Questi depositi rappresentano la porzione apicale degli apparati di delta conoide formatesi sul versante valdarnese della dorsale del Pratomagno.

Sono costituiti da ciottolami eterometrici ad elementi arenacei prevalenti con, subordinatamente, sabbie limose.

I ciottolami sono costituiti da clasti di natura arenacea di colore ocraceo, solitamente alterati, immersi in matrice prevalentemente sabbiosa. I ciottoli sono solitamente appiattiti o subsferici. La tessitura è solitamente granosostenuta e possono risultare embriciati. Sono organizzati in strati tabulari a struttura massiva, con base e tetto piatti, che possono raggiungere un paio di metri di spessore.

Le sabbie sono prevalentemente medio fini, limose, di colore bruno rossastro, possono raggiungere il metro di spessore e sono intercalate ai ciottolami.

I Ciottolami della Penna sono spessi fino ad un massimo di 50 m.

Questa unità è sormontata dai depositi di conoide alluvionale della Successione di Monticello-Ciuffenna. Verso il centro del bacino passano gradualmente ai Ciottolami e sabbie di Casa la Querce.

L'età è Pliocene superiore-Pleistocene inferiore.

### **Subsistema di Monticello-Ciuffenna**

Un'importante fase erosiva separa la seconda dalla terza e ultima fase di colmamento del bacino valdarnese, determinando una lacuna la cui estensione cronologica è ancora da definire.

Questa successione è caratterizzata da depositi alluvionali del Pleistocene medio, comprendente i depositi fluviali di Monticello, che occupano la zona assiale del bacino, e i coevi depositi di conoide alluvionale, ben sviluppati lungo il margine nord orientale del bacino, sul versante occidentale del Pratomagno, mentre risultano meno estesi sul margine occidentale, costituito dal versante orientale dei Monti del Chianti.



### Ciottolami di Loro Ciuffenna (cLC)

Successione di strati di ciottolami eterometrici di natura arenacea che raggiungono diversi metri di spessore in prossimità della dorsale del Pratomagno.

Le dimensioni dei clasti arenacei, immersi in un'abbondante matrice sabbioso-limosa, possono superare il metro, la forma è piatta o subsferica e risultano da ben arrotondati a poco arrotondati.

I conglomerati, con tessitura granosostenuta, sono costituiti in spessi banchi e si mostrano, di regola, molto alterati, di colore da bruno fino a rossiccio, disgregabili.

Si tratta di depositi prossimali di conoide alluvionale, in particolare di sedimenti di apice della conoide.

L'unità è organizzata in tre ordini differenti con uno spessore complessivo di diverse decine di metri.

L'età dei Ciottolami di Loro Ciuffenna, è Pleistocene medio.

Verso valle questa unità passa, con rapporto interdigitato, alle Sabbie del Tasso; superiormente i ciottolami passano alle Sabbie del Tasso o ai Limi di Pian di Tegna. Inferiormente il contatto è, attraverso una superficie di erosione, con i depositi del Subsistema di Montevarchi.

### Sabbie del Tasso (sT)

Sabbie quarzoso-feldspatiche da medio-fini a grossolane, più o meno classate, con livelli di ciottolami arenacei. Il colore varia da giallo ocraceo a bruno.

Lo spessore degli strati è dell'ordine di alcuni decimetri.

Si tratta di depositi di conoide, con strutture tipiche di canali intrecciati. Verso il centro del bacino sono frequenti le intercalazioni di livelli di limi argilloso - sabbiosi di colore grigio e di argille torbose nerastre.

L'unità è organizzata in tre ordini differenti con uno spessore complessivo di alcune decine di metri,

L'età delle Sabbie del Tasso è Pleistocene medio.

Una superficie di erosione segna il contatto con i depositi del Subsistema di Montevarchi; lateralmente, verso monte, sono in eteropia con i Ciottolami di Loro Ciuffenna, mentre superiormente passano ai Limi di Pian di Tegna.

#### Limi di Pian di Tegna (IPT)

Limi e limi sabbiosi con colore variabile da rosso bruno a grigio e nerastro, di aspetto massivo, profondamente interessati da pedogenesi a pseudogley e da abbondanti screziature rossastre.

Localmente sono presenti livelli di sabbie e lenti di ciottolami fini con elementi che non superano il centimetro. Lo spessore di questi livelli è nell'ordine di alcuni decimetri e può superare il metro.

I limi sono inferiormente in contatto con i Ciottolami di Loro Ciuffenna e con le Sabbie del Tasso.

Lo spessore è variabile da pochi decimetri, nelle zone marginali, ad oltre una decina di metri di spessore.

Questa unità, organizzata anch'essa in tre ordini, rappresenta il sedimento finale della deposizione delle conoidi alluvionali del Valdarno Superiore.

L'età è Pleistocene medio.

### **SUPERSINTEMA DELLE PIANURE ALLUVIONALI**

#### **Sintema del Fiume Arno**

Si tratta dei sedimenti alluvionali recenti e terrazzati originati a partire dal Pleistocene superiore dall'Arno e dai suoi affluenti.

#### Depositi alluvionali terrazzati (b<sub>1-2-3</sub>)

Sedimenti alluvionali terrazzati dell'Arno e dei suoi affluenti, originati durante l'ultima fase di evoluzione del bacino valdarnese, iniziata con l'abbassamento del livel-

lo di base dell'Arno, causato dalla cattura di questo da parte della Sieve.

I terrazzi alluvionali sono stati originati dal Torrente Resco durante il Pleistocene superiore – Olocene, sono organizzati in più ordini e risultano litologicamente costituiti da ciottolami, sabbie e limi, organizzati in corpi tabulari tra loro interdigitati.

Lo spessore totale dei terrazzi è di diversi metri e risultano variamente pedogenizzati a seconda del periodo di formazione e dei fattori climatici che si sono succeduti.

#### Depositi alluvionali in evoluzione (b)

Sabbie, limi e ghiaie; depositi prevalentemente limoso – sabbiosi per le piane alluvionali minori. Olocene.

### **COPERTURE RECENTI**

Coperture eluvio–colluviali, detriti di falda attuali e coperture antropiche.

#### Depositi eluvio–colluviali (ec)

Materiale eterogeneo ed eterometrico derivante dall'alterazione della roccia del substrato ed accumulato in posto o dopo breve trasporto per ruscellamento.

#### Detrito di falda (dt)

Materiale eterogeneo ed eterometrico accumulato lungo i versanti prevalentemente per gravità.

#### Copertura antropica (ant)

Coperture derivanti da attività antropiche in senso lato.

## **ELEMENTI STRUTTURALI**

La catena montuosa del Pratomagno, che interessa la porzione del territorio comunale posta a monte del capoluogo, presenta nel suo complesso un assetto monoclinale, con strati prevalentemente immergenti verso il Casentino. Tale semplice struttura è in realtà complicata da differenti assetti locali oltre che da un elevato numero di faglie che interessano soprattutto il versante valdarnese e in misura minore quello casentino.

Ad eccezione del locale sovrascorrimento rilevato in sinistra idrografica del Torrente Resco, poco a monte del capoluogo, le dislocazioni riconosciute sono rappresentate da faglie ad alto angolo raggruppabili secondo due orientamenti principali: il primo è nord-ovest sud-est (direzione appenninica) e il secondo, subordinato, sud-ovest nord-est (direzione antiappenninica).

Le faglie del primo gruppo, se si prende in esame l'intera dorsale del Pratomagno, presentano una notevole estensione laterale e immergono generalmente verso il Valdarno, ribassando i relativi blocchi sud occidentali da esse individuati. Le altre sono, mediamente, meno continue delle prime. Spesso le faglie del primo gruppo, a direzione appenninica, terminano contro quelle del secondo, facendo pensare per queste ultime a strutture del tipo transfer faults.

L'assetto strutturale dell'area è riferibile, pertanto, ad un complesso basculamento di blocchi separati da faglie ad alto angolo a direzione appenninica e antiappenninica, tali faglie individuando blocchi allungati in direzione intorno a nord-ovest sud-est. Ogni blocco avrebbe subito un basculamento verso nord est in conseguenza del movimento avvenuto lungo le faglie.

Tale assetto sarebbe coerente con il modello a semigraben proposto per il bacino del Valdarno Superiore (figura 3).

### *Faglie a direzione appenninica*

Rappresentano la maggior parte delle dislocazioni individuate nella catena del

Pratomagno. Immergono in genere verso il Valdarno. I movimenti devono essere stati prevalentemente di tipo dip-slip con trascurabile componente orizzontale.

La più importante ed evidente di tutte le dislocazioni presenti nel Pratomagno, denominata tradizionalmente in letteratura "faglia della Trappola" (Losacco, 1963), può essere considerata la master fault dell'area. Si tratta in realtà non di una sola dislocazione, ma di un esteso sistema di faglie vicarianti che si sviluppa per circa 23 km in direzione circa nord-ovest sud-est, formando una serie di ripide scarpate facilmente individuabili lungo tutto il versante sud occidentale della catena montuosa. Nel territorio comunale di Pian di Scò questo sistema di faglie è localizzabile tra Poggio alla Regina e Monte Acuto. Il piano di faglia immerge verso il Valdarno. La parte ribassata è quella sud occidentale.

#### *Faglie a direzione antiappenninica*

Nell'area del Pratomagno sono meno frequenti delle precedenti. Le principali hanno estensioni chilometriche. Potrebbero aver funzionato da transfer faults differenziando in maniera più o meno complessa i movimenti dei blocchi da esse individuati.

Nel territorio comunale la principale faglia a direzione antiappenninica è seguibile per alcuni chilometri in direzione circa sud-ovest nord-est da Pian di Scò, dove risulta essere stata sepolta dai sedimenti fluvio-lacustri, fino al limite nord orientale del comune. Su di essa si è impostato il corso del torrente Resco. Numerose le faglie appenniniche che vi terminano contro. Sembra che ribassi il relativo blocco sud orientale.

Sono infine da mettere in evidenza alcuni allineamenti, in corrispondenza dei depositi fluvio-lacustri e palustri plio-pleistocenici, che mostrano la stessa direzione antiappenninica sud-ovest nord-est. Lungo tali allineamenti si sono impostati i corsi d'acqua del Torrente Resco, tra Vaggio e Matassino, e del Torrente Faella tra l'abitato di Faella e l'estremità meridionale del territorio comunale. Tali allineamenti potrebbero essere da mettere in relazione con faglie a direzione anti-appenninica.

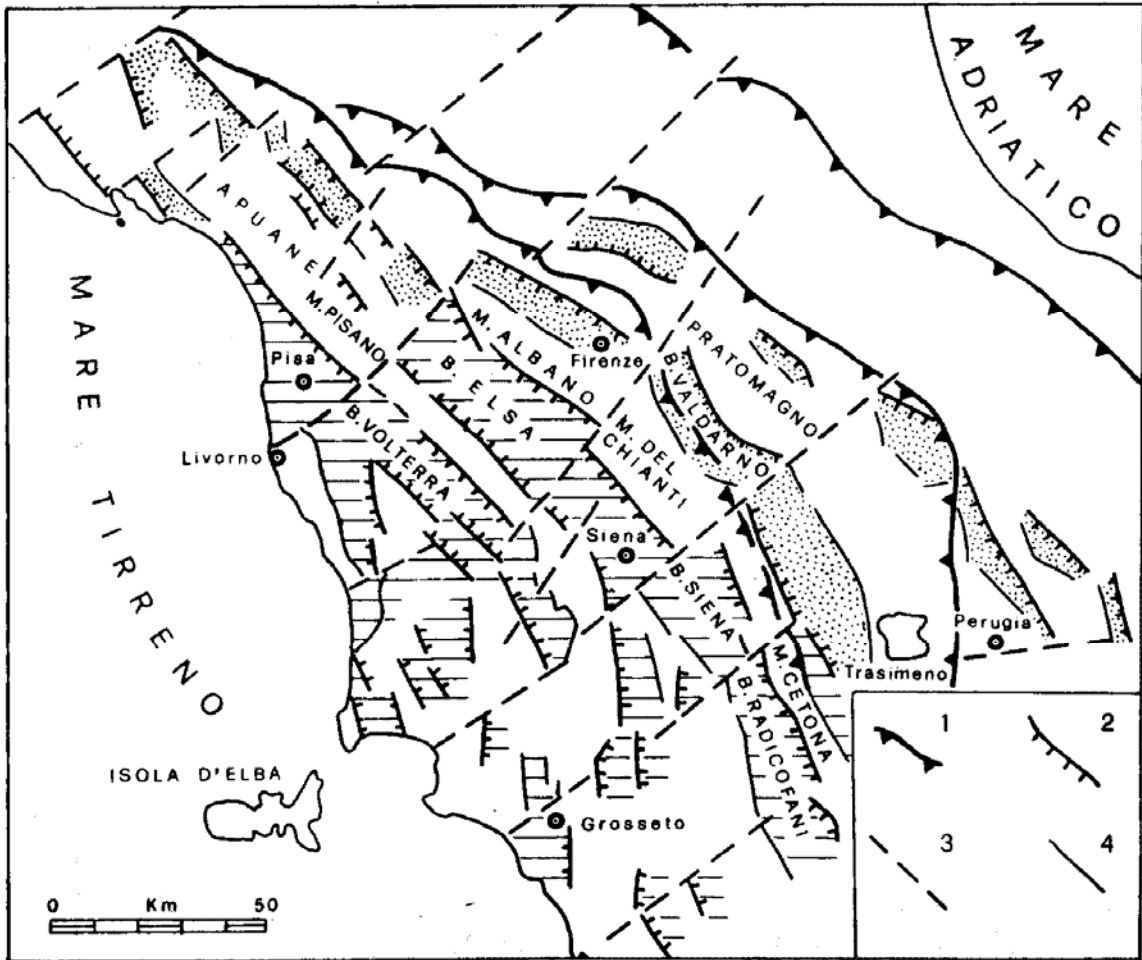


Figura 1 - I principali bacini neogenici dell'Appennino settentrionale. Il rigato orizzontale indica i bacini mio-pliocenici con sedimenti marini e continentali; il puntinato indica quelli plio-pleistocenici con depositi fluvio-lacustri. 1: principali fronti di accavallamento. 2: faglie bordiere principali. 3: linee tettoniche trasversali. 4: faglie bordiere minori (da Sagri & Magi, 1992).

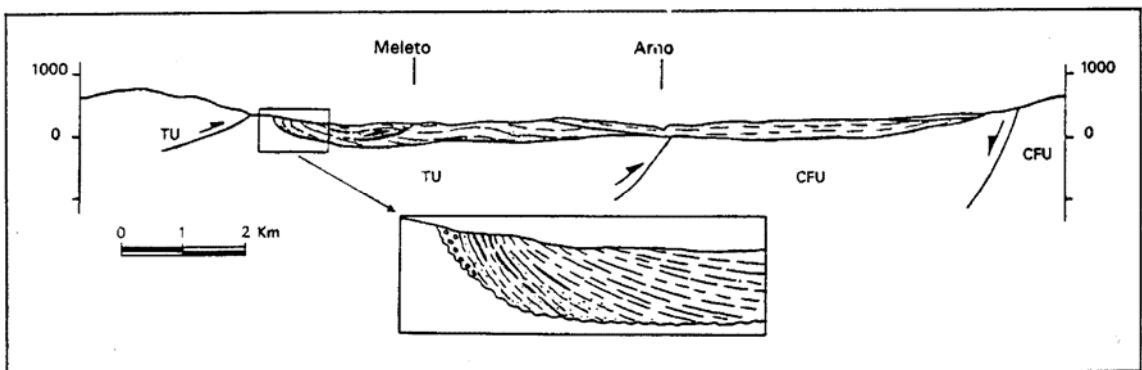


Figura 2 - Sezione geologica schematica del Valdarno, secondo un'interpretazione che lega la genesi del bacino ad una tettonica compressiva (da Boccaletti et al., 1994).

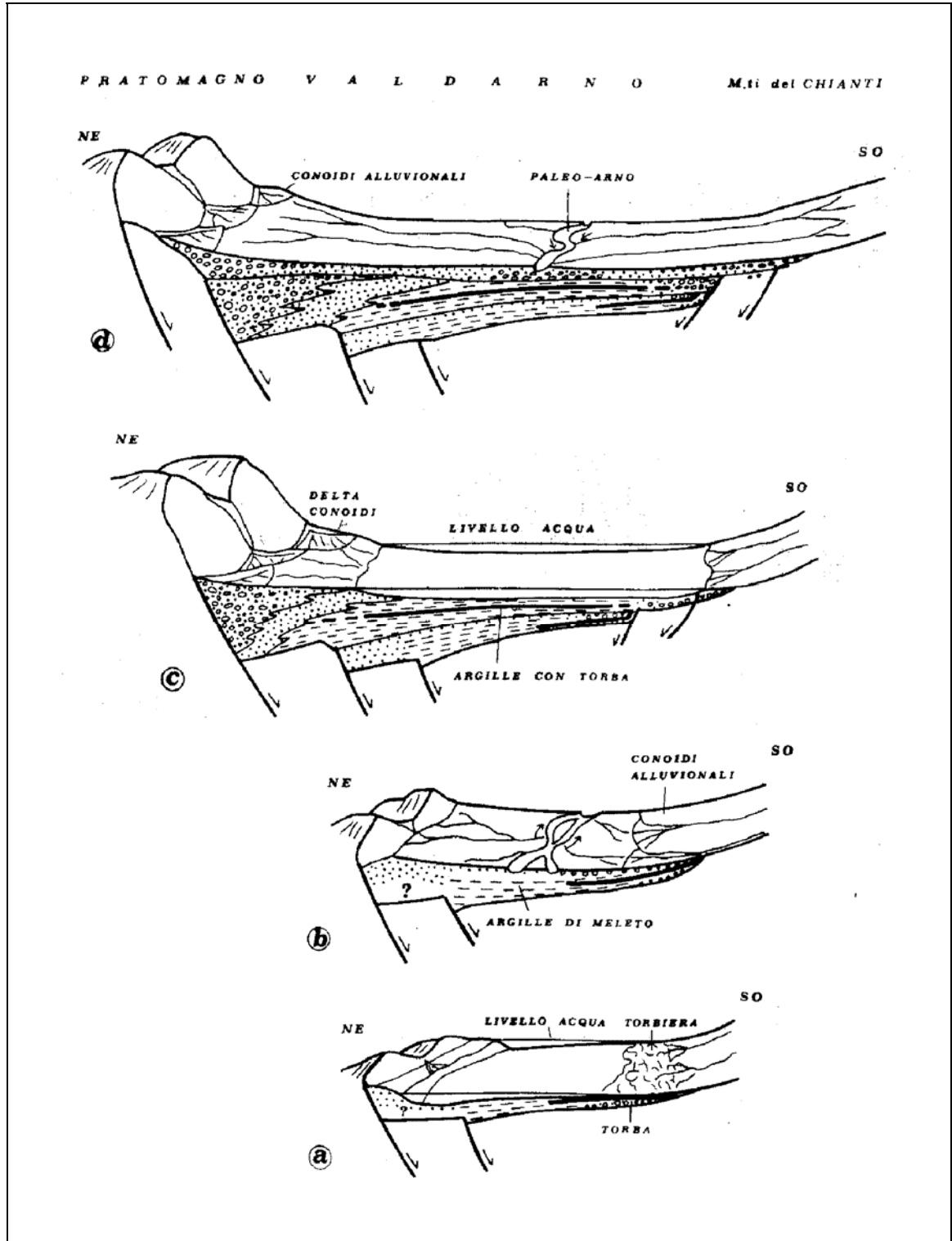


Figura 3 - Evoluzione tettonico sedimentaria del bacino del Valdarno Superiore (da Sagri, 1991); a, b: prima fase con deposizione dei livelli torbosi nelle Argille di Meleto ed il colmamento della depressione con depositi fluviali (Gruppo di Castelnuovo); c: seconda fase, ampliamento e nuovo riempimento del bacino con depositi lacustro-palustri e di delta conoide (gruppo di Montevarchi); c: terza fase, con accumulo di depositi fluviali del paleo-Arno (Gruppo di Monticello) e di conoide (Ciottolami di Loro Ciuffenna).

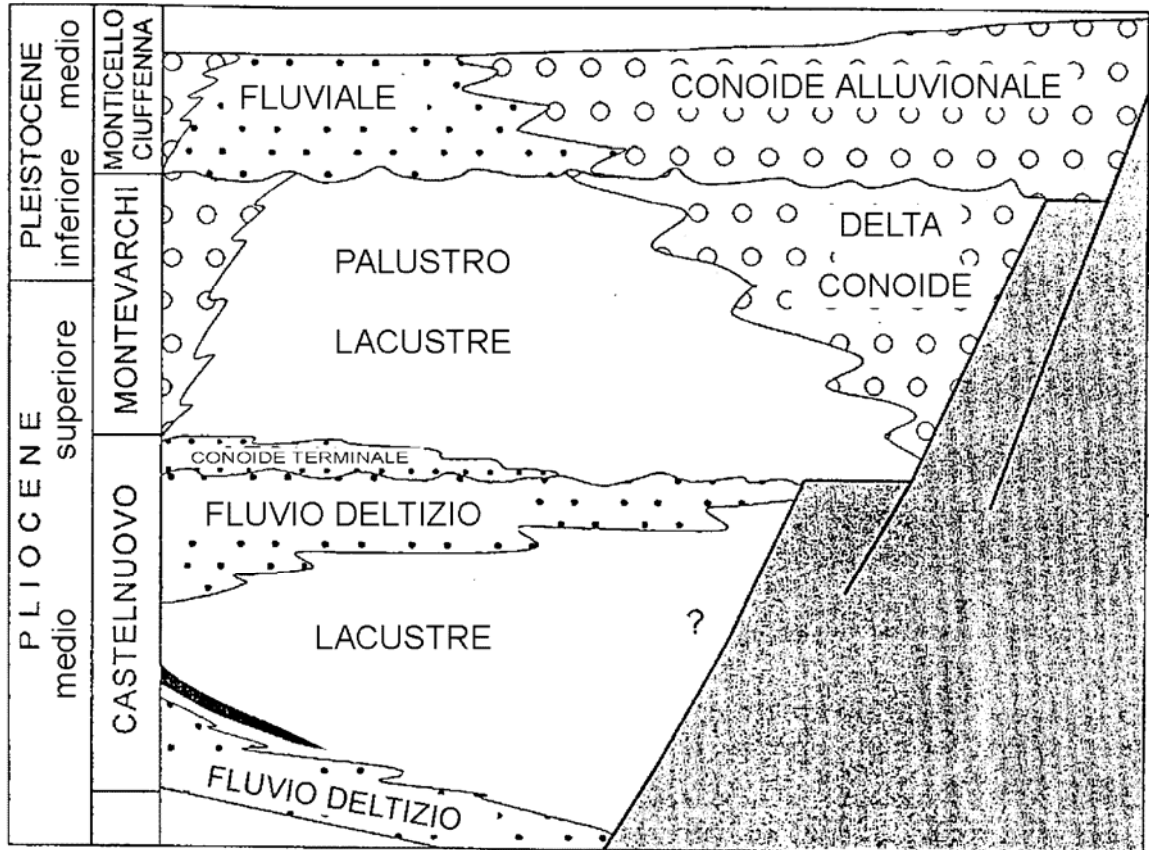


Figura 4 - Schema stratigrafico dei depositi del bacino del Valdarno superiore (modificato da Sagri *et al.*, 1994).



## ELEMENTI LITOLOGICO–TECNICI

I vari litotipi presenti nel territorio comunale sono stati raggruppati in unità litotecniche in base alle loro caratteristiche tecniche.

I terreni sono stati raggruppati sulla base del rilievo geologico e dei dati geotecnici derivanti dalle indagini geognostiche raccolte negli archivi comunali.

La finalità, in accordo con il Programma Valutazione degli Effetti Locali (VEL), è quella di raggruppare i vari litotipi individuati in Unità Litologico–Tecniche (ULT) sulla base delle loro caratteristiche fisico–meccaniche e di determinare la corrispondenza con i parametri che caratterizzano la litologia dal punto di vista della risposta sismica. Pertanto le unità litologico–tecniche raggruppano i terreni in funzione delle loro caratteristiche fisico–strutturali e dei loro parametri geotecnici e geofisici, indipendentemente dalla loro posizione stratigrafica e dai relativi rapporti geometrici.

Sono distinti litotipi lapidei, litotipi granulari e coesivi.

Di seguito si riportano le Unità Litologico–Tecniche della Carta Litotecnica per la redazione della quale si è fatto riferimento alle indicazioni del Programma Valutazione Effetti Locali (VEL).

### **Unità Litologico–tecnica B**

Rocce costituite da alternanze ordinate di livelli lapidei e livelli pelitici (con contrasto di competenza).

#### *Unità B3*

Raggruppa le Arenarie del Monte Falterona, Membro di Monte Falco (Fal<sub>1</sub>) e le Arenarie del Monte Falterona, Membro di Camaldoli (Fal<sub>2</sub>).

Rocce costituite da alternanze ordinate di livelli lapidei e livelli pelitici (con contrasto di competenza). Livelli lapidei in percentuale superiore al 75% del totale.

#### *Unità B4*

Raccoglie solamente le Arenarie del Monte Falterona, Membro di Montalto (Fal<sub>3</sub>)  
Rocce costituite da alternanze ordinate di livelli lapidei e livelli pelitici (con contrasto di competenza). Livelli lapidei compresi tra il 25% ed il 75% del totale.

#### **Unità Litologico–tecnica C**

Rocce e rocce deboli costituite da materiale prevalentemente granulare con grado di cementazione medio basso, che presentano caratteristiche intermedie fra quelle delle rocce e quelle dei terreni in senso stretto.

#### *Unità C2*

Sono raggruppati i Ciottolami e Sabbie di casa La Querce (cCQ), i Ciottolami della Penna (cP) e i Ciottolami di Loro Ciuffenna (cLC).

Struttura dell'ammasso: conglomerati e brecce sostenuti dalla matrice (matrix supported) o clastosostenuti.

#### **Unità Litologico–tecnica D**

Terreni coesivi con consistenza elevata.

#### *Unità D*

Sono raggruppati i Limi di Terranuova (IT) e le Argille del Torrente Ascione (aA).

Granulometria dominante: argille e limi.

#### **Unità Litologico–tecnica E**

Terreni con stato di addensamento da addensato a sciolto costituiti da materia-

le prevalentemente granulare non cementato o con lieve grado di cementazione.

*Unità E2*

Sono raggruppati i depositi alluvionali in evoluzione e terrazzati (b, b<sub>1-3</sub>).

Granulometria dominante: ghiaie.

*Unità E3*

Sono raggruppati i Limi e Sabbie del Torrente Oreno (IsO), le Sabbie di Borro Cave (sBC), le Sabbie del Tasso (sT) e i Limi di Pian di Tegna (IPT).

Granulometria dominante: sabbie.

**Unità Litologico–tecnica F**

Terreni coesivi a bassa consistenza.

*Unità F*

Sono raggruppati il detrito di falda (dt) ed i depositi eluvio–colluviali (ec).

Granulometria: variabile.

## DATI DI BASE

E' stata realizzata una ricerca negli archivi comunali ed in quelli del ns. studio, al fine di raccogliere le indagini geognostiche effettuate sul territorio comunale.

La ricerca effettuata per questo lavoro è andata ad integrare la ricerca effettuata nel 2008.

In totale sono stati raccolti i dati relativi a 130 indagini geognostiche, delle quali 121 facenti parte delle indagini del 2008 e 7 raccolte per le attuali. Queste sono costituite variamente da sondaggi a carotaggio continuo, saggi geognostici, prove penetrometriche, sia statiche che dinamiche, analisi e prove geotecniche di laboratorio.

Le indagini sono state svolte su tutto il territorio comunale, maggiormente in corrispondenza dei centri abitati.

Le ubicazioni delle indagini sono state riportate nella Carta dei dati di base.

## **ELEMENTI GEOMORFOLOGICI**

La suddivisione territoriale del Comune di Pian di Scò effettuata dal punto di vista geologico può essere estrapolata, seppur con le dovute precisazioni, anche per quanto riguarda l'assetto geomorfologico; infatti le forme del paesaggio, nonostante una spinta antropizzazione, sono legate essenzialmente alla natura litologica dei terreni, che determina una differente risposta alla dinamica morfologica.

Per la zona montana e pedemontana e per quella collinare e di pianalto sono stati approfonditi essenzialmente gli aspetti legati alla dinamica di versante e alla dinamica fluviale, mentre per la zona di fondovalle sono stati presi in esame quelli legati alla dinamica fluviale.

Le presenti indagini di carattere geomorfologico sono essenzialmente basate sulla foto interpretazione delle foto del volo Pian di Scò 2007, realizzato dalla ditta Rossi Luigi alla scala 7.500 e non disponibile per le precedenti indagini. Inoltre sono stati effettuati sopralluoghi per la verifica dei fenomeni osservati nelle foto aeree e l'individuazione di nuovi movimenti più recenti delle foto aeree o di una più recente loro evoluzione.

### **Zona montana e pedemontana**

La zona montana e pedemontana è caratterizzata dall'affioramento di terreni litoidi riferibili all'unità litostratigrafica delle Arenarie del Monte Falterona.

E' presente, specialmente nella porzione altimetricamente più elevata del territorio, un alto grado di energia del rilievo, con valli profondamente incise dai corsi d'acqua, impostati spesso su lineamenti tettonici.

Questa morfologia è connessa all'assetto strutturale mentre, man mano che si scende verso valle, aumenta il peso del fattore antropico sulle forme del rilievo, con le secolari sistemazioni idraulico-forestali, tra cui notevole importanza rivestono i terrazzamenti dei versanti coltivati ad oliveto e secondariamente le briglie lungo i torrenti e i

sistemi di regimazione delle acque superficiali.

Sono presenti locali strutture monoclinali con versanti a reggipoggio e a franapoggio, in relazione alla differenza di giacitura degli strati su opposti versanti, in cui questa favorisce o limita rispettivamente, la stabilità degli stessi.

Nel versante valdarnese della dorsale del Pratomagno sono ben individuabili vari gradini morfologici di evidente origine tettonica, segnati da scarpate di faglia, confermate queste ultime sia da forme tettoniche tipo "faccette triangolari", o "faccette trapezoidali", che da evidenze cinematiche alla scala dell'affioramento (specchi di faglia, strie, discontinuità con rigetti, ...).

Gli episodi di instabilità rilevati nella zona montana e pedemontana sono presenti per lo più su versanti impostati su superfici di strato o in cui gli strati presentano un assetto a franapoggio meno inclinato del pendio, in aree in cui si rileva una fratturazione spinta dell'ammasso roccioso. Talvolta, si rilevano frane anche in corrispondenza di versanti a reggipoggio o a traverpoggio, in genere in corrispondenza di aree intensamente fratturate e/o con elevato grado di alterazione, oppure in corrispondenza di scarpate di faglia. Tali fenomeni sono generalmente superficiali, ed interessano prevalentemente le coperture detritiche, spesso non cartografabili a causa del loro limitato spessore o della loro scarsa continuità areale, e la porzione superficiale più alterata dell'ammasso roccioso.

Si tratta di fenomeni classificabili genericamente come scorrimenti.

Localmente, laddove l'energia del rilievo è particolarmente elevata, si rilevano crolli di blocchi o massi.

### **Zona collinare e di pianalto**

All'interno della zona collinare e di pianalto, impostata su terreni plio-pleistocenici fluvio-lacustri e palustro-lacustri, è possibile operare una suddivisione morfologica legata alla litologia.

In corrispondenza dei depositi granulari si sono formate scarpate acclivi, de-

nominate localmente "balze", in erosione attiva mediante fenomeni riconducibili a crolli che possono interessare intere pareti così come blocchi o massi isolati.

Nei terreni coesivi limoso-argillosi, si hanno pendenze dolci e forme tondeggianti, contraddistinte generalmente da estesi movimenti di versante che possono concretizzarsi in fenomeni tipo soliflusso oppure in delle vere e proprie frane di colamento a cinematica lenta.

Le "balze", che possono raggiungere altezze superiori ai 15 m, delimitano verso valle aree frastagliate, per lo più pianeggianti impostate su le Sabbie del Tasso e sui Limi di Pian di Tegna, che costituiscono dei veri e propri pianalti morfologici fra cui il principale come estensione è quello su cui è stato realizzato il centro abitato del capoluogo.

### **Zona di fondovalle**

Nella zona di fondovalle, che comprende le pianure alluvionali del Fiume Arno, del Torrente Resco e del Torrente Faella, la dinamica fluviale prevale nettamente tra gli agenti morfogenetici.

In tale zona si individuano vari ordini di terrazzi alluvionali sovente bordati verso valle da scarpate (orli di terrazzo).

Lungo il corso del Torrente Faella, in corrispondenza dell'omonimo centro abitato, nella carta geomorfologica sono evidenziate le opere di difesa idraulica (argini).

Su tutto il territorio sono stati individuati fenomeni di erosione incanalata in corrispondenza dei corsi d'acqua.

### **CARTOGRAFIA DELLE FORME E PROCESSI GEOMORFOLOGICI DI VERSANTE**

Le forme ed i processi geomorfologici legati alla dinamica di versante, relativi alle due zone "montana e pedemontana" e "collinare e di pianalto" sono stati analizzati

e cartografati relativamente al loro stato di attività, ai sensi del Regolamento Regionale 26/R:

- stato attivo, qualora siano presenti evidenze morfologiche di movimento che, non avendo esaurito la loro evoluzione, possono considerarsi recenti, riattivabili nel breve periodo con frequenza e/o con carattere stagionale;
- stato quiescente, qualora siano presenti evidenze morfologiche che, non avendo esaurito la loro evoluzione, hanno la possibilità di riattivarsi;
- stato inattivo, qualora gli elementi morfologici siano riconducibili a condizioni morfoclimatiche diverse dalle attuali o non presentino condizioni di riattivazione o di evoluzione.

Per le frane, laddove possibile, sono state evidenziate la nicchia di distacco e la zona di accumulo e di scorrimento: queste ultime due sono state cartografate congiuntamente con un'unica simbologia, data l'impossibilità di una loro oggettiva distinzione.

Laddove non è stato possibile cartografare la frana, a causa della sua limitata estensione, se ne è indicata la presenza mediante opportuna simbologia (frana non cartografabile). Queste frane sono state riscontrate essenzialmente al di fuori dei centri abitati, durante il rilevamento geomorfologico eseguito alla scala 1:10.000; poiché gli approfondimenti alla scala più dettagliata (1:2.000) hanno interessato solamente i centri abitati, questi fenomeni puntuali non sono stati rilevati in questa fase del rilevamento. Sono comunque presenti, per estensione cartografica della Carta geomorfologica in scala 1:2.000, anche in alcune tavole alla scala di maggior dettaglio.

L'area di possibile evoluzione del dissesto è stata valutata coerentemente con la tipologia del fenomeno e con le ipotesi cinematiche ad esso connesse.

Le frane presenti nel territorio sono essenzialmente del tipo a cinematica lenta (scorrimenti e soliflussi) e quindi le aree di possibile evoluzione sono limitate alle im-



mediate vicinanze dei movimenti di versante stessi. Le aree di influenza non sono state quindi evidenziate all'interno della Carta geomorfologica. Per le aree in dissesto, cartografate come frane attive, frane quiescenti e soliflussi, riportate nella Carta Geomorfologica, si è tenuto conto delle relative aree di influenza, riferite alle aree di possibile evoluzione del fenomeno, nella redazione della Carta delle aree a Pericolosità Geomorfologica, così come concordato con la struttura tecnica dell'Autorità di Bacino del Fiume Arno. Infatti le aree inserite in Pericolosità geomorfologica molto elevata (G.4) individuano, oltre al dissesto stesso, l'area di possibile evoluzione; inoltre le aree limitrofe sono state inserite in Pericolosità geomorfologica elevata (G.3).

Deve essere inoltre notato che i fenomeni franosi interessano solo marginalmente i centri abitati.

Gli abitati di Matassino, Ontaneto e Montalpero sono interessati marginalmente da fenomeni gravitativi a cinematica lenta tipici delle litologie limoso argillose presenti in corrispondenza dei versanti posto a monte dei centri abitati.

L'abitato di Faella è interessato marginalmente da fenomeni gravitativi a cinematica lenta, tipici delle litologie limoso argillose presenti in corrispondenza dei versanti posti a monte del centro abitato. In corrispondenza della parte nord dell'abitato è stata istituita "una fascia di protezione dell'abitato", al fine di evitare interventi edilizi in una zona da destinarsi ad una corretta regimazione delle acque di precipitazione meteorica.

L'abitato di Pian di Scò è caratterizzato dall'orlo superiore delle scarpate in erosione attiva, evidenziate sia nella Carta geomorfologica che nella Carta delle aree a pericolosità geomorfologica, ove è stato attribuito a queste zone un grado di pericolosità elevata. Inoltre nelle prescrizioni geologiche del Regolamento Urbanistico (e nelle Norme Tecniche di Attuazione) si sono vietati interventi nella fascia di territorio prossima alle scarpate.

## **ASPETTI IDRAULICI**

Ai fini della valutazione degli aspetti idraulici è rimasto invariato quanto effettuato nelle precedenti indagini.

## ASPETTI IDROGEOLOGICI

### IDROGRAFIA

Il territorio comunale è delimitato, nella sua porzione sud occidentale, dai due corsi d'acqua principali, i torrenti Resco e Faella, rispettivamente a nord e a sud, entrambi affluenti del Fiume Arno.

Il Torrente Resco taglia trasversalmente il territorio comunale in direzione nord-est sud-ovest, scendendo dai versanti del Monte Acuto fino al fondovalle in corrispondenza dell'abitato del Matassino, dove confluisce nel Fiume Arno ad una distanza di circa 450 m dal limite comunale.

Il suo corso può essere suddiviso in tre tratti, sulla base delle diverse litologie attraversate e conseguentemente della differente morfologia corrispondenti alle tre zone già distinte dal punto di vista geologico.

Il primo tratto scorre in corrispondenza dei litotipi arenacei (zona montana e pedemontana), riferibili alle Arenarie del Monte Falterona, a monte del capoluogo e della Strada Provinciale Setteponti, lungo un lineamento tettonico con direzione nord-est sud-ovest; i versanti risultano notevolmente incisi dal suo corso, caratterizzato inoltre da un'elevata pendenza.

Lungo questo tratto sono numerosi gli affluenti minori, alcuni dei quali sono fossi modesti, più o meno temporanei, che scendono dai versanti limitrofi seguendo spesso lineamenti strutturali in direzione nord sud e nord nord-ovest sud sud-est, o anche, in misura minore, est ovest.

Parallelamente a questo tratto del Torrente Resco scorrono altri corsi d'acqua minori, in allineamento fra loro. In particolare, a nord del torrente, in sua destra idrografica, scendono dalle pendici dei rilievi del Pratomagno il Borro Rifontolano, lungo un'altra linea di frattura, il Borro Bologna, il Borro della Ragnaia ed altri di minore entità; proseguendo il loro corso verso valle tali corsi d'acqua hanno inciso i depositi di conoide e fluvio-lacustri.

Il secondo tratto, che lambisce l'abitato di Pian di Scò e quello di Vaggio, scorre in direzione quasi est ovest, con un andamento meandriforme, all'interno di una valle incisa nei depositi di conoide e fluvio-lacustri e delimitata da ripide scarpate; anche in questo tratto il torrente è caratterizzato da una pendenza medio elevata. A nord della Strada Provinciale della Castagneta sono già sviluppati terrazzi alluvionali del primo ordine e, localmente del secondo ordine, in corrispondenza dell'abitato di Pian di Scò.

Il terzo ed ultimo tratto, successivo alla confluenza con il Resco Cascese e prima della confluenza del torrente nel Fiume Arno, scorre in direzione nord-est sud-ovest, ed è caratterizzato da un andamento debolmente sinuoso e da moderate pendenze. In questo tratto la pianura alluvionale è ben sviluppata, con terrazzi del primo ordine.

Negli ultimi due tratti non sono presenti affluenti di rilevante entità.

Il Torrente Faella scorre nella porzione meridionale del territorio comunale, con andamento a tratti quasi rettilineo o debolmente sinuoso fino al limite occidentale dell'abitato omonimo, per poi proseguire con andamento sinuoso in direzione nord nord-est sud sud-ovest fino alla località Montalpero e confluire nel Fiume Arno ad una distanza di circa 850 m dal limite comunale.

Il Torrente Faella è protetto da argini per quasi tutto il suo corso.

Dal punto di vista morfologico questa porzione del torrente corrisponde al terzo tratto del Resco, caratterizzato da pendenze modeste. A differenza di quest'ultimo, sono presenti numerosi affluenti che alimentano il suo corso, in destra idrografica, dei quali il più esteso è il Borro Rantigioni.

Tali affluenti scorrono prevalentemente da nord a sud ed hanno inciso i depositi di conoide e fluvio-lacustri e creato i paesaggi molto caratteristici del territorio, quali le pareti subverticali denominate "balze" in corrispondenza dei terreni incoerenti (ciotolami e sabbie).

## CARATTERISTICHE DI PERMEABILITÀ

Le formazioni geologiche presenti nel territorio comunale possono essere qualitativamente classificate e raggruppate in due classi idrogeologiche principali, sulla base delle loro caratteristiche litologiche e tessiturali e delle condizioni di tettonizzazione, tenendo conto della loro capacità di contenere acqua e di farla defluire:

- a. Formazioni permeabili per Permeabilità Primaria, per porosità, se le caratteristiche di permeabilità e trasmissività sono proprie dei terreni, in funzione della loro litologia.
- b. Formazioni permeabili per Permeabilità Secondaria, per fratturazione, se tali caratteristiche derivano da eventi successivi alla formazione dei terreni, quali fenomeni tettonici.

Le formazioni presenti, distinte inizialmente per tipo di permeabilità, sono state classificate in unità idrogeologiche in funzione del grado di permeabilità.

Si riportano di seguito le unità idrogeologiche individuate, sulla base dei contatti geologici, elencate secondo il grado di permeabilità.

### **Formazioni permeabili per permeabilità primaria**

#### Permeabilità primaria molto bassa

##### *Argille del Torrente Ascione (aA)*

Terreni caratterizzati da una permeabilità, primaria per porosità, molto bassa, in quanto costituiti litologicamente da argille, argille limose e sabbie argillose con argille torbose e livelli di torba; talvolta sono presenti rare intercalazioni di sabbie.

In corrispondenza delle argille il comportamento idrogeologico è quello tipico di un corpo impermeabile, riferibile ad un acquicludo. In corrispondenza dei livelli sabbiosi invece si può assimilare ad un acquitardo.

### Permeabilità primaria bassa

*Coperture antropiche (ant)*

*Detrito di falda (dt)*

*Depositi eluvio-colluviali (ec)*

Le coperture recenti sono generalmente caratterizzate da una permeabilità, primaria per porosità, scarsa. La permeabilità può comunque presentare un certo grado di variabilità nelle coltri detritiche derivanti dall'alterazione della roccia del substrato, a seconda della presenza di matrice prevalente più o meno sabbiosa e del grado di compattazione dei depositi.

Analogamente per i depositi detritici di riporto la permeabilità sarà funzione dei materiali utilizzati e dal loro grado di compattazione.

*Depositi alluvionali terrazzati (b<sub>1-2-3</sub>)*

Depositi prevalentemente sabbioso-ghiaiosi dotati di una scarsa permeabilità, primaria per porosità, a causa della loro intensa pedogenesi.

L'intensità e la tipologia dei processi pedogenetici sono determinate, oltre che dal tipo di sedimento, dall'interazione di diversi fattori, quali la morfologia, le caratteristiche climatiche del territorio, il tempo e gli organismi viventi.

*Limi di Pian di Tegna (IPT)*

*Limi e Sabbie del Torrente Oreno (IsO)*

*Limi di Terranuova (IT)*

Depositi, talora pedogenizzati, dotati di una permeabilità, primaria per porosità, bassa a causa della loro litologia prevalentemente limoso sabbiosa e limoso argillosa.

La permeabilità di questi depositi può localmente assumere valori medi nei livelli e nelle intercalazioni di sabbie, talora ghiaiose. Questi livelli a granulometria più grossolana, che consentono una certa circolazione idrica, comunque funzione della loro lenticolarità, sono da considerarsi acquiferi confinati.

### Permeabilità primaria media

*Sabbie del Tasso (sT)*

*Ciottolami di Loro Ciuffenna (cLC)*

*Ciottolami della Penna (cP)*

*Ciottolami e Sabbie di Casa la Querce (cCQ)*

*Sabbie di Borro Cave (sBC)*

Depositi fluvio-lacustri e di conoide alluvionale caratterizzati da una permeabilità, primaria per porosità, media, in quanto litologicamente costituiti da sabbie, localmente sabbie limose, con intercalazioni di lenti ghiaiose, e ciottolami ad elementi arenacei in matrice sabbiosa grossolana.

Tali sedimenti rappresentano un corpo acquifero dotato di una buona porosità e permeabilità. La permeabilità può localmente diminuire in corrispondenza dei livelli e delle intercalazioni limoso-sabbiose, limitati alle Sabbie di Borro Cave.

### Permeabilità primaria alta

*Depositi alluvionali in evoluzione (b)*

In questa unità sono incluse le alluvioni recenti e attuali dei principali corsi d'acqua presenti sul territorio comunale.

I depositi alluvionali presenti nel fondovalle sono caratterizzati da una permeabilità estremamente variabile lungo il loro spessore.

In particolare, i depositi alluvionali depositi principalmente dal Fiume Arno possono essere suddivisi in due livelli principali.

Il livello superiore è costituito da sedimenti scarsamente permeabili (limi, limi sabbiosi, sabbie limose, limi argillosi e argille limose), comportando una scarsa infiltrazione delle acque meteoriche, mentre quello inferiore, caratterizzato da una permeabilità elevata a causa della sua composizione litologica (ghiaie sabbiose e sabbie), è sede di un importante acquifero freatico.

Tale suddivisione risulta comunque indicativa, in quanto possono essere presenti lenti di materiale ghiaioso in corrispondenza del primo orizzonte e livelli di ma-

teriale più fine nel secondo orizzonte.

In corrispondenza delle pianure alluvionali riferibili al Torrente Resco e al Torrente Faella i depositi alluvionali hanno generalmente uno spessore inferiore di qualche metro rispetto a quelli ascrivibili al Fiume Arno; la permeabilità risulta anche in questo caso elevata.

Nelle piane alluvionali minori i depositi sono generalmente costituiti da litologie limoso-sabbiose, in corrispondenza delle quali la permeabilità può localmente assumere valori medi.

Ovunque l'acquifero freatico è delimitato verso il basso dai depositi palustro-lacustri, che costituiscono il substrato impermeabile dei depositi alluvionali.

Il coefficiente di permeabilità K, che ha le dimensioni di una velocità, mostra, in generale, una vasta gamma di valori che vanno da  $10^1$  a  $1 \cdot 10^{-11}$  m/sec, e che sono anche funzione della granulometria. Il limite inferiore dei serbatoi impermeabili è stato fissato, convenzionalmente, ad un valore  $1 \cdot 10^{-9}$  m/sec.

Nella tabella, modificata da Castany G., "Idrogeologia, principi e metodi", è riportata la relazione esistente nei depositi alluvionali tra le dimensioni dei granuli e il coefficiente di permeabilità K, che può essere utilizzata come stima qualitativa.

K (m/s)								
	10	1	10 <sup>-1</sup>	10 <sup>-3</sup>	10 <sup>-5</sup>	10 <sup>-7</sup>	10 <sup>-9</sup>	10 <sup>-11</sup>
granulometria	omogenea	ghiaia		sabbia	sabbia molto fine	silt	argilla	
	varia	ghiaia medio grossa	ghiaia e sabbia	sabbia, limo e argilla				
gradi di permeabilità		elevata			bassa		nulla	
tipi di formazioni		permeabili			semipermeabili		impermeabili	

Tabella 1 – Relazione tra granulometria e coefficiente di permeabilità nei depositi alluvionali (modificato da Castany G.).



## **Formazioni permeabili per permeabilità secondaria**

### Permeabilità secondaria media

#### *Arenarie del Monte Falterona (Fal<sub>1</sub>, Fal<sub>2</sub>, Fal<sub>3</sub>)*

Le Arenarie del Monte Falterona sono dotate di una permeabilità, secondaria per fratturazione, media.

La rete di fratture e diaclasi che interessano la massa rocciosa consente una discreta infiltrazione ed una circolazione idrica, con la formazione di falde idriche sotterranee, ubicate generalmente a diverse decine di metri di profondità.

Il valore di permeabilità dei litotipi arenacei è comunque funzione del grado di fratturazione dell'ammasso roccioso e delle caratteristiche proprie delle famiglie di faglie e fratture che lo attraversano, quali la densità, la spaziatura e l'estensione oppure il loro riempimento.

La variabilità della permeabilità è anche funzione della presenza di interstrati argillitici e/o marnosi e del rapporto arenaria/pelite.

In tali litotipi può verificarsi un accumulo idrico localizzato al passaggio tra bancate litoidi fratturate e sottostanti livelli argillitici che fungono da substrato impermeabile.

## **ACQUIFERI FREATICI E CENSIMENTO DEI POZZI**

E' stato effettuato un censimento dei pozzi presenti nel territorio comunale, limitatamente alle aree di fondovalle, definite da fasce piuttosto ristrette in corrispondenza dei depositi alluvionali e dei depositi palustro-lacustri presenti alla base dei primi versanti collinari che delimitano le pianure alluvionali.

Il censimento, effettuato nel maggio 2011, è andato ad integrare e approfondire quello del febbraio/maggio 2008 riportato nelle precedenti indagini. In particolare sono stati censiti i pozzi presenti al margine della pianura alluvionale del Fiume Arno, per la fascia di territorio compresa fra l'abitato del Matassino e la località Montalpero,

quelli lungo il Torrente Resco, in sua sinistra idrografica, quelli lungo il Torrente Faella, in sua destra idrografica, e lungo alcuni impluvi d'acqua minori.

Sono stati censiti complessivamente 151 pozzi, dei quali 2 sono posti all'esterno del limite del territorio comunale. Il primo (63) è ubicato in località Montalpero, in Comune di Figline Valdarno, il secondo (151) è poso in località Forocava, in Comune di Castelfranco di Sopra; questo secondo pozzo è utilizzato per approvvigionamento idrico ad uso acquedottistico.

Per l'individuazione dei pozzi sono stati utilizzati i dati presenti nell'indagine idrogeologica del 1992, di supporto alla stesura del Piano Strutturale, e quelli della Banca dati geografica in rete (WEBWater) della Provincia di Arezzo, servizio Difesa del Suolo, Acque e Demanio Idrico.

Per quanto riguarda le risorse idriche destinate al consumo umano che riveste carattere di pubblico interesse, sono stati censiti 3 pozzi ad uso acquedottistico (uno dei quali ubicato in Comune di Castelfranco di Sopra:

- n. 1, ubicato in prossimità della località Casamora, a nord est dell'abitato di Pian di Scò.
- n. 150, ubicato lungo la Strada Provinciale Fiorentina, in destra idrografica del Torrente Faella, in prossimità della località Casa Casato.
- n. 151, ubicato in Comune di Castelfranco di Sopra, in sinistra idrografica del Torrente Faella, località Forocava.

Per tali opere di captazione è stata istituita nelle Norme Tecniche di Attuazione del regolamento Urbanistico (art. 7) una zona di tutela assoluta ed una zona di rispetto, ai sensi della normativa vigente (Decreto Legislativo 3 aprile 2006 n. 152, successive modifiche ed integrazioni).

I dati raccolti per ciascuna opera di captazione, di seguito descritti, sono schematizzati nelle tabelle allegate.

La campagna di misura del livello statico è stata effettuata nel maggio 2011.

Le quote assolute del livello statico misurato sono state calcolate per differenza

dalle quote sul livello del mare, del piano campagna di ciascun pozzo, desunte dalla Carta Tecnica Regionale alla scala 1:2.000.

In corrispondenza di alcuni pozzi utilizzati da attività artigianali il livello misurato non è stato considerato attendibile per la ricostruzione della superficie freatica, in quanto si tratta di pozzi in continuo funzionamento, per i quali non era possibile arrestare il pompaggio precedentemente alla misura, in modo da ristabilire il livello statico originario.

La maggior parte dei pozzi censiti sono poco profondi, di grande diametro, scavati a mano, con rivestimento in muratura o ad anelli; alcuni pozzi sono battuti, con tubo metallico fenestrato e pompa esterna; i più recenti sono pozzi trivellati profondi con tubazione di rivestimento in PVC.

Per quanto riguarda la tipologia di utilizzo della risorsa idrica la maggioranza dei pozzi è ad uso domestico, irriguo e/o igienico, per l'approvvigionamento idrico delle abitazioni; alcuni pozzi sono ad uso industriale e/o antincendio, per i servizi delle attività artigianali presenti sul territorio.

Sulla base delle caratteristiche litologiche e sedimentologiche dei terreni, delle risultanze del censimento dei pozzi, limitato alle aree di fondovalle e alla base dei versanti collinari, è possibile distinguere la presenza di due corpi acquiferi principali.

I depositi alluvionali recenti di fondovalle sono sede di un acquifero freatico ben alimentato, sia dalle precipitazioni meteoriche che dalle infiltrazioni di subalveo dei corsi d'acqua presenti, a seconda delle zone del territorio, in particolare il Fiume Arno per la zona compresa fra l'abitato del Matassino e la località Montalpero, il Torrente Resco per la fascia in sua sinistra idrografica che si estende dall'abitato di Vaggio a quello del Matassino, ed il Torrente Faella per la fascia in sua destra idrografica comprendente l'abitato di Faella e le località ad ovest sud ovest (Ciliegio, Le Chiuse, Valimaggiori) e ad est di questo (Casa Casato, Il Pino, Casariccio, Case Sportico).

I pozzi che attingono nella pianura alluvionale del Fiume Arno non superano generalmente la profondità di 12-15 m: questo valore è presumibilmente da riferirsi

allo spessore massimo dei depositi alluvionali, che hanno come substrato impermeabile i depositi palustro-lacustri, riferibili al Subsistema di Montevarchi, costituiti da depositi limoso-argillosi di colore grigio-azzurro, in corrispondenza dei quali si arrestano le perforazioni.

I pozzi presenti lungo gli altri corsi d'acqua principali (Torrente Resco e Torrente Faella) sono caratterizzati da profondità generalmente minori, variabili da 5 a 7 m, comunque solitamente inferiori a 10 m; questi valori indicano uno spessore minore dei depositi alluvionali rispetto a quelli depositi dal Fiume Arno.

In corrispondenza invece dei depositi alluvionali terrazzati e dei sottostanti depositi palustro-lacustri presenti sui versanti che delimitano le pianure alluvionali, sui quali i depositi alluvionali poggiano in discordanza, sono riscontrabili acquiferi confinati negli orizzonti a granulometria più grossolana, costituiti da sabbie e/o sabbie e ciottolami fini in matrice limoso-sabbiosa.

Inoltre alcuni pozzi poco profondi possono essere alimentati da parte delle acque di ruscellamento superficiale e sub-superficiale provenienti dalle aree collinari circostanti.

Dall'elaborazione dei risultati ottenuti durante la campagna di misura è stato possibile ricostruire la geometria della falda freatica in corrispondenza delle aree di fondovalle.

La ricostruzione della superficie freatica ha evidenziato che nel periodo relativo alle misurazioni effettuate sono i corsi d'acqua ad essere alimentati dalla falda. Risulta comunque possibile che nei periodi di piena i rapporti si invertano e siano i corsi d'acqua ad alimentare la falda.

Le linee di flusso sotterraneo (ortogonali alle curve isofreatiche) mostrano un gradiente idraulico variabile mediamente tra valori compresi tra 1 e 5 % in corrispondenza delle pianure alluvionali caratterizzate da bassa pendenza. Valori notevolmente più elevati si registrano in corrispondenza della porzione superiore del corso del Torrente Resco nei pressi dell'abitato di Vaggio.

Le falde presenti nel territorio indagato sono influenzate dai corsi d'acqua presenti, dalle precipitazioni meteoriche e dalle acque di ruscellamento superficiale provenienti dai versanti; si evince dunque una marcata variabilità stagionale, evidente anche dall'analisi delle misurazioni dei livelli effettuate durante l'indagine idrogeologica del 1992, condotta nel periodo compreso fra l'inizio di febbraio e l'inizio di maggio dal geologo Silvio Cazzante. A tal proposito non è stato possibile ricavare dati attendibili circa le variazioni di livello della falda tra il 1992 ed il 2008 poiché le misurazioni sono state effettuate in periodi dell'anno differenti tra loro.

Le escursioni stagionali della falda risultano essere contenute nell'ordine di pochi metri. In alcuni casi di pozzi poco profondi, in corrispondenza dei quali la superficie freatica può raggiungere profondità inferiori ad 1.0 m dal piano campagna in concomitanza con eventi particolarmente piovosi, oppure subire un forte abbassamento nella stagione estiva (in alcuni casi i pozzi si sono seccati come riferito da alcuni proprietari), l'escursione della falda può essere anche maggiore.

Sulla base delle due campagne di misura, effettuate rispettivamente nel periodo febbraio/maggio 2008 e riportate nelle precedenti indagini e nel maggio 2011, riportate nelle presenti, è stata redatta la Carta delle isofratriche in cui sono riportate le isofreatiche dei due periodi e rispetto alle quali si possono effettuare alcune considerazioni.

Le variazioni tra le due campagne sono minime, nell'ordine di 0.5 m, con un innalzamento generale del tetto della falda, probabilmente da ricondurre alle precipitazioni più continue ed intense degli ultimi anni.

Solamente in pochi casi isolati la differenza è maggiore.

## EFFETTI LOCALI E DI SITO PER LA RIDUZIONE DEL RISCHIO SISMICO

In relazione alla riduzione del rischio sismico gli elementi evidenziati per la valutazione degli effetti locali e di sito, sono stati quelli ritenuti utili alle successive fasi di caratterizzazione sismica dei terreni e di parametrizzazione dinamica riferite alla realizzazione o verifica dell'edificato. A tal fine, oltre all'acquisizione di ogni informazione esistente finalizzata alla conoscenza del territorio sotto il profilo geologico e geomorfologico, sono stati acquisiti elementi per una ricostruzione e successiva rappresentazione del modello geologico-tecnico di sottosuolo in termini di geometrie sepolte e di spessori delle litologie presenti mediante la raccolta dei sondaggi e dati di base presenti negli archivi del Comune di Pian di Scò.

Gli elementi di conoscenza del territorio hanno permesso l'individuazione delle Zone a Maggior Pericolosità Sismica Locale (ZMPSL), con le modalità indicate nelle direttive allegate al Regolamento 26/R, ovvero quelle aree ove possono verificarsi effetti locali o di sito.

In particolare nella valutazione preliminare degli effetti locali o di sito ai fini della riduzione del rischio sismico sono stati soppesati attentamente:

- probabili fenomeni di amplificazione stratigrafica, topografica e per morfologie sepolte
- presenza di faglie e/o strutture tettoniche
- contatti tra litotipi a caratteristiche fisico-meccaniche significativamente differenti
- accentuazione della instabilità dei pendii
- terreni suscettibili a liquefazione e/o addensamento
- terreni soggetti a cedimenti diffusi e differenziali

Da tale valutazione è scaturita la Carta delle Zone a Maggior Pericolosità Sismica Locale (ZMPSL) che individua qualitativamente gli elementi in grado di generare fe-

nomeni di amplificazione locale ed instabilità dinamica. Questa cartografia è stata realizzata secondo la legenda riportata nell'allegato 1 del Regolamento 26/R.

L'elaborazione della Carta delle Zone a Maggior Pericolosità Sismica Locale è stata realizzata solo sui centri urbani maggiormente significativi, individuati dal Comune di Pian di Scò e riportati nella Tavola n. 3 del Regolamento Urbanistico, tenendo conto delle Istruzioni Tecniche del Programma VEL. I centri abitati maggiormente significativi, in corrispondenza dei quali è stata realizzata la Carta delle Zone a Maggior Pericolosità Sismica Locale, alla scala 1:2.000, sono quelli di Pian di Scò, Faella, Matasino, Ontaneto, Montalpero e Vaggio.

La Carta delle Zone a Maggior Pericolosità Sismica Locale è stata aggiornata in seguito all'individuazione dei nuovi fenomeni gravitativi.

Le zone individuate nel territorio del Comune di Pian di Scò interessato dalla cartografia delle Zone a Maggior Pericolosità Sismica Locale sono:

- Zona 1
- zona 2A
- Zona 6
- Zona 8
- Zona 9
- Zona 10
- Zona 12
- Zona 13.

Le aree cartografate come "zona 1" corrispondono a porzioni di territorio interessate da movimenti franosi attivi, mentre quelle cartografate come "zona 2A" sono caratterizzate da movimenti franosi quiescenti.

Le aree inserite in "zona 6" sono quelle di ciglio di scarpata con parete sub-verticale con altezza superiore ai 10 metri, corrispondenti alle balze (buffer di 10 m a partire da ciglio).

Le aree cartografate come "zona 8", sono quelle di bordo della valle e/o di raccordo con il versante, con buffer di 20 m intorno alla variazione di pendenza, e sono state individuate pertanto nelle aree di raccordo tra la pianura alluvionale dell'Arno, del Torrente Faella e del Torrente Resco con i relativi versanti.

Le aree cartografate come "zona 9" sono quelle in cui sono presenti depositi alluvionali e/o sciolti. In questo caso si è seguita l'interpretazione corrente presso l'Ufficio Tecnico del Genio Civile di Area Vasta Firenze-Prato-Pistoia-Arezzo - Coordinamento Regionale Prevenzione Sismica, secondo la quale per depositi sciolti sono da intendersi, oltre a quelli alluvionali in evoluzione o terrazzati e le coperture recenti, anche i sedimenti fluvio-lacustri e palustri plio-pleistocenici del bacino del Valdarno Superiore.

Le aree in cui sono presenti coltri detritiche di alterazione del substrato sono state inserite in "zona 10".

Le aree di contatto tra litotipi con caratteristiche fisico-meccaniche significativamente diverse, con buffer di 20 m intorno al contatto, sono state cartografate come "zona 12". In questo senso sono stati considerati i contatti tra i depositi di conoide e i litotipi dell'Unità Cervarola-Falterona e tra questi ultimi e i depositi alluvionali o le coperture recenti.

Le aree lungo i contatti tettonici, con buffer di 20 m, sono state inserite in "zona 13".

In corrispondenza delle aree in cui è stata redatta la Carta delle Zone a Maggior Pericolosità Sismica Locale non sono state riscontrate situazioni riferibili alle zone 2B, 3, 4, 5, 7 e 11.

La situazione 2B non è presente sul territorio indagato in quanto non sono state rilevate zone potenzialmente franose; infatti non sono stati rilevati versanti con pendenza media superiore al 25% impostati su sabbie sciolte, argille, limi soffici e/o detriti oppure versanti con giacitura a franapoggio meno inclinata del pendio, né versanti con giacitura a reggipoggio ed intensa fratturazione degli strati.



La situazione 3 non è presente sul territorio indagato in quanto non si rilevano fenomeni franosi inattivi in corrispondenza dei centri abitati.

Non sono presenti i fenomeni legati alle situazioni 4 e 5 in quanto non sono stati rilevati terreni particolarmente scadenti e nemmeno terreni granulari fini poco addensati.

Non sono presenti creste rocciose sottili, pertanto è esclusa la situazione 7.

Non sono state rilevate aree costituite da conoidi alluvionali e/o coni detritici (zona 11), pur essendo quella di Pian di Scò una conoide alluvionale, ma "fossile".

## **VALUTAZIONI DI PERICOLOSITÀ**

Il territorio comunale è stato caratterizzato in funzione dello stato di pericolosità, ai sensi del Regolamento 26/R.

Attraverso la sintesi delle conoscenze, le analisi e gli approfondimenti sono state caratterizzate aree omogenee dal punto di vista delle pericolosità e delle criticità rispetto agli specifici fenomeni che le generano, oltre ad essere integrate e approfondite quelle già individuate nei piani di bacino.

Il territorio comunale è stato quindi caratterizzato in aree omogenee in funzione della pericolosità geomorfologica, idraulica e, per le aree urbanizzate, della pericolosità sismica locale.

La Carta della pericolosità geomorfologica e quella della pericolosità sismica sono state aggiornate in seguito alla redazione, con conseguente aggiornamento, della Carta geomorfologica.

### **AREE A PERICOLOSITÀ GEOMORFOLOGICA**

Per la perimetrazione delle aree a pericolosità geomorfologica si è fatto riferimento al Regolamento 26/R, secondo i relativi criteri rispetto alle varie classi di pericolosità, così come di seguito riportati.

Inoltre, secondo le indicazioni dell'Ufficio Tecnico del Genio Civile di Area Vasta Firenze-Prato-Pistoia-Arezzo - Coordinamento Regionale Prevenzione Sismica, il territorio è stato cartografato in modo tale da non avere mai il contatto tra porzioni di territorio comprese in classi di pericolosità geomorfologica non progressive.

Di seguito si riportano le situazioni delle varie classi di pericolosità geomorfologica.

#### **Pericolosità geomorfologica molto elevata (G.4)**

Aree in cui sono presenti fenomeni attivi e relative aree di influenza.

### **Pericolosità geomorfologica elevata (G.3)**

Aree in cui sono presenti fenomeni quiescenti; aree con indizi di instabilità connessi alla giacitura, all'acclività, alla litologia, alla presenza di acque superficiali e sotterranee, nonché a processi di degrado di carattere antropico; aree interessate da intensi fenomeni erosivi e da subsidenza e relative aree di influenza.

### **Pericolosità geomorfologica media (G.2)**

Aree in cui sono presenti fenomeni franosi inattivi stabilizzati (naturalmente o artificialmente); aree con elementi geomorfologici, litologici e giaciturali dalla cui valutazione risulta una bassa propensione al dissesto.

### **Pericolosità geomorfologica bassa (G.1)**

Aree in cui i processi geomorfologici e le caratteristiche litologiche, giaciturali non costituiscono fattori predisponenti al verificarsi di movimenti di massa.

Nella Carta delle aree a pericolosità geomorfologica si è tenuto conto delle aree di possibile evoluzione del dissesto, che sono state valutate coerentemente con la tipologia del fenomeno e con le ipotesi cinematiche ad esso connesse.

Le frane presenti nel territorio sono essenzialmente del tipo a cinematica lenta (scorrimenti e soliflussi) e quindi le aree di possibile evoluzione sono limitate alle immediate vicinanze dei movimenti di versante stessi. Le aree di influenza non sono state quindi evidenziate all'interno della Carta geomorfologica. Per le aree in dissesto, cartografate come frane attive, frane quiescenti e soliflussi, riportate nella Carta Geomorfologica, si è tenuto conto delle relative aree di influenza, riferite alle aree di possibile evoluzione del fenomeno, nella redazione della Carta delle aree a Pericolosità Geomorfologica, così come concordato con la struttura tecnica dell'Autorità di Bacino del Fiume Arno. Infatti le aree inserite in Pericolosità geomorfologica molto elevata (G.4) individuano, oltre al dissesto stesso, l'area di possibile evoluzione; inoltre le aree limitrofe

sono state inserite in Pericolosità geomorfologica elevata (G.3).

Deve essere inoltre notato che i fenomeni franosi interessano solo marginalmente i centri abitati.

Gli abitati di Matassino, Ontaneto e Montalpero sono interessati marginalmente da fenomeni gravitativi a cinematica lenta tipici delle litologie limoso argillose presenti in corrispondenza dei versanti posto a monte dei centri abitati.

L'abitato di Faella è interessato marginalmente da fenomeni gravitativi a cinematica lenta, tipici delle litologie limoso argillose presenti in corrispondenza dei versanti posti a monte del centro abitato. In corrispondenza della parte nord dell'abitato è stata istituita "una fascia di protezione dell'abitato", al fine di evitare interventi edilizi in una zona da destinarsi ad una corretta regimazione delle acque di precipitazione meteorica.

L'abitato di Pian di Scò è caratterizzato dall'orlo superiore delle scarpate in erosione attiva, evidenziate sia nella Carta geomorfologica che nella Carta delle aree a pericolosità geomorfologica, ove è stato attribuito a queste zone un grado di pericolosità elevata. Inoltre nelle prescrizioni geologiche del Regolamento Urbanistico (e nelle Norme Tecniche di Attuazione) si sono vietati interventi nella fascia di territorio prossima alle scarpate.

#### **AREE A PERICOLOSITÀ IDRAULICA**

Per le considerazioni di carattere idraulico e per la perimetrazione delle aree a pericolosità idraulica si rimanda allo studio allegato.

Si riportano comunque di seguito le situazioni delle varie classi di pericolosità idraulica.

#### **Pericolosità idraulica molto elevata (I.4)**

Aree interessate da allagamenti per eventi con  $Tr \leq 30$  anni.

Fuori dalle unità territoriali organiche elementari (UTOE) potenzialmente inte-

ressate da previsioni insediative e infrastrutturali, in presenza di aree non riconducibili agli ambiti di applicazione degli atti di pianificazione di bacino e in assenza di studi idrologici e idraulici, rientrano in classe di pericolosità molto elevata le aree di fondovalle non protette da opere idrauliche per le quali ricorrano contestualmente le seguenti condizioni:

- a) vi sono notizie storiche di inondazioni
- b) sono morfologicamente in situazione sfavorevole di norma a quote altimetriche inferiori rispetto alla quota posta a metri 2 sopra il piede esterno dell'argine o, in mancanza, sopra il ciglio di sponda.

### **Pericolosità idraulica elevata (I.3)**

Aree interessate da allagamenti per eventi compresi tra  $30 < Tr \leq 200$  anni.

Fuori dalle unità territoriali organiche elementari (UTOE) potenzialmente interessate da previsioni insediative e infrastrutturali, in presenza di aree non riconducibili agli ambiti di applicazione degli atti di pianificazione di bacino e in assenza di studi idrologici idraulici, rientrano in classe di pericolosità elevata le aree di fondovalle per le quali ricorra almeno una delle seguenti condizioni:

- a) vi sono notizie storiche di inondazioni
- b) sono morfologicamente in condizione sfavorevole di norma a quote altimetriche inferiori rispetto alla quota posta a metri 2 sopra il piede esterno dell'argine o, in mancanza, sopra il ciglio di sponda.

### **Pericolosità idraulica media (I.2)**

Aree interessate da allagamenti per eventi compresi tra  $200 < Tr \leq 500$  anni.

Fuori dalle unità territoriali organiche elementari (UTOE) potenzialmente interessate da previsioni insediative e infrastrutturali, in presenza di aree non riconducibili agli ambiti di applicazione degli atti di pianificazione di bacino e in assenza di studi idrologici idraulici rientrano in classe di pericolosità media le aree di fondovalle per le

quali ricorrano le seguenti condizioni:

- a) non vi sono notizie storiche di inondazioni
- b) sono in situazione di alto morfologico rispetto alla piana alluvionale adiacente, di norma a quote altimetriche superiori a metri 2 rispetto al piede esterno dell'argine o, in mancanza, al ciglio di sponda.

#### **Pericolosità idraulica bassa (I.1)**

Aree collinari o montane prossime ai corsi d'acqua per le quali ricorrono le seguenti condizioni:

- a) non vi sono notizie storiche di inondazioni
- a) sono in situazioni favorevoli di alto morfologico, di norma a quote altimetriche superiori a metri 2 rispetto al piede esterno dell'argine o, in mancanza, al ciglio di sponda.

#### **AREE CON PROBLEMATICHE IDROGEOLOGICHE**

In relazione a problematiche di tipo idrogeologico si è posta attenzione all'individuazione delle aree in cui la risorsa idrica è destinata all'approvvigionamento idrico mediante acquedotto pubblico.

Per tali opere di captazione è stata istituita nelle Norme Tecniche di Attuazione del regolamento Urbanistico (art. 7) una zona di tutela assoluta ed una zona di rispetto, ai sensi della normativa vigente (Decreto Legislativo 3 aprile 2006 n. 152, successive modifiche ed integrazioni).

#### **AREE A PERICOLOSITÀ SISMICA LOCALE**

Gli effetti locali prodotti da eventi sismici e connessi ad aspetti stratigrafici, morfologici, geotecnici, strutturali, rappresentati nella cartografia delle Zone a Maggior

Pericolosità Sismica Locale (ZMPSL), assumono una diversa rilevanza in funzione della sismicità di base del territorio comunale e della relativa accelerazione di ancoraggio dello spettro di risposta elastico.

Il Comune di Pian di Scò è stato dichiarato sismico con Decreto Ministeriale 19 marzo 1982 e classificato in seconda categoria con grado di sismicità  $s = 9$ .

L'Ordinanza del Presidente del Consiglio dei Ministri n. 3274 del 20 marzo 2003 ha inserito il Comune di Pian di Scò in zona 2, caratterizzata da valori dell'accelerazione orizzontale, con probabilità di superamento pari al 10% in 50 anni, compresi tra 0.15 e 0.25 g. Con la Delibera della Giunta Regionale n. 431 del 19 giugno 2006 concernente la riclassificazione sismica del territorio regionale in attuazione del Decreto Ministeriale 14 settembre 2005 e della Ordinanza del Presidente del Consiglio dei Ministri n. 3519 del 28 aprile 2006, il Comune di Pian di Scò è passato da zona 2 a zona 3s; tuttavia con tale passaggio di zona non è stato modificato il livello di sicurezza e protezione e le costruzioni devono essere progettate e realizzate con le azioni sismiche della zona 2.

Pertanto sono stati presi in considerazione e approfonditi gli elementi riportati nell'allegato 1 delle direttive allegate al Regolamento 26/R, in relazione alla Zona sismica di appartenenza. I suddetti elementi sono associati al grado di pericolosità sismica, dipendente dall'interazione tra ciascun elemento di pericolosità sismica locale e la sismicità di base, connessa alla Zona sismica di appartenenza del territorio comunale (zona 3s).

La sintesi delle informazioni derivanti dalle cartografie geologiche, geomorfologiche e dalla carta delle Zone a Maggior Pericolosità Sismica Locale consente di valutare le condizioni di pericolosità sismica dei centri urbani studiati secondo le graduazioni di pericolosità riportate in tabella.

Si riportano di seguito le situazioni delle varie classi di pericolosità sismica.

#### **Pericolosità sismica locale molto elevata (S.4)**

Aree in cui sono presenti fenomeni di instabilità attivi (1) e che pertanto potrebbero subire una accentuazione dovuta ad effetti dinamici quali possono verificarsi in occasione di eventi sismici.

#### **Pericolosità sismica locale elevata (S.3)**

Aree in cui sono presenti fenomeni di instabilità quiescenti (2A) e che pertanto potrebbero subire una riattivazione dovuta ad effetti dinamici quali possono verificarsi in occasione di eventi sismici; zone con possibile amplificazione sismica connesse a zone di bordo della valle e/o aree di raccordo con il versante (8); zone con possibile amplificazione per effetti stratigrafici (9, 10); zone di contatto tra litotipi con caratteristiche fisicomeccaniche significativamente diverse (12); presenza di faglie e/o contatti tettonici (13).

#### **Pericolosità sismica locale media (S.2)**

Aree in cui è possibile amplificazione dovuta ad effetti topografici (6).

#### **Pericolosità sismica locale bassa (S.1)**

Aree caratterizzate dalla presenza di formazioni litoidi e dove non si ritengono probabili fenomeni di amplificazione o instabilità indotta dalla sollecitazione sismica.



	Zone sismiche di riferimento (DGRT n. 431 del 19.06.06)		
	Zona 2	Zona 3S	Zona 3
Movimenti franosi attivi (1)	S4	S4	S4
Movimenti franosi quiescenti (2A)	S3	S3	S3
Zone potenzialmente franose (2B)	S3	S3	S3
Movimenti franosi inattivi (3)	S2	S2	S2
Cedimenti diffusi in terreni particolarmente scadenti (4)	S3	S3	S3
Terreni suscettibili a liquefazione (5)	S4	S3	-
Amplificazione per effetti topografici (6, 7)	S2	S2	-
Amplificazione per morfologie sepolte (8)	S3	S3	S3
Amplificazione per effetti stratigrafici (9,10, 11)	S3	S3	S2
Contatti tra litotipi con caratteristiche fisico-meccaniche significativamente diverse (12)	S3	S3	S3
Faglie e/o strutture tettoniche (13)	S3	S3	S3

Tabella 2 – Elementi di pericolosità sismica locale con associato il grado di pericolosità sismica in relazione alla zona sismica di appartenenza del territorio comunale.

## **BIBLIOGRAFIA**

- Abbate E. & Bruni P. (1987) – Modino–Cervarola o Modino e Cervarola? Torbiditi oligo–mioceniche ed evoluzione del margine nord appenninico. Mem. Soc. Geol. It., 39.
- Abbate E. (1983) – Schema stratigrafico della successione neoautoctona del Valdarno Superiore e del bacino di Arezzo, in: I depositi fluvio–lacustri del Valdarno Superiore, Istituto di Geologia e Paleontologia di Firenze.
- Abbate E., Bruni P. & Sagri M. (1991) – Sezione geologica dai Monti del Chianti al passo dei Mandrioli. Studi Geologici Camerti, Volume speciale.
- Aruta G., Bruni P., Cecchi M. & Pandeli E. (1996) – Eteropie tra le torbiditi delle Arenarie di M. Falterona e le Arenarie di M. Cervarola tra il Pratomagno ed il Lago Trasimeno (Appennino Settentrionale)". 78<sup>a</sup> Riunione estiva della Società Geologica Italiana.
- Azzaroli A. & Lazzeri L. (1977) – I laghi del Valdarno Superiore. Centro Studi Geologia Appennino CNR, Università di Firenze, Pubbl. 26.
- Bartolini C. & Pranzini G. (1981) – Plio–Quaternary evolution of the Arno basin drainage. Z. Geomorph. N.F., 40.
- Bartolini C. (1983) – Cenni sulla morfologia del Valdarno, in: I depositi fluvio–lacustri del Valdarno Superiore, Istituto di Geologia e Paleontologia di Firenze.
- Bartolini C., Bernini M., Carloni G.C., Costantini A., Federici P.R., Gasperi G., Lazzarotto A., Marchetti G., Mazzanti R., Papani G., Pranzini G., Rau A., Sandrelli F., Vercesi P.L., Castaldini D. & Francavilla F. (1982) – Carta neotettonica dell'Appennino settentrionale. Note illustrative. Boll. Soc. Geol. It., 101.
- Benvenuti M. (1992) – Stratigrafia e sedimentologia dei depositi fluvio–lacustri Plio–Pleistocenici dell'area nord occidentale del Valdarno superiore. Rivista Italiana di Paleontologia Stratigrafica, 98.
- Berti U. (1990) – Stratigrafia e sedimentologia della zona di Pian di Scò e Castelfranco

del bacino fluvio lacustre del Valdarno superiore. Tesi di laurea, Dipartimento di Scienze della Terra, Università di Firenze.

Bertini A. (1985) – Studi palinologici sui sedimenti lacustri del Gruppo di Montevarchi nei dintorni di Figline e Terranuova Bracciolini (Valdarno Superiore). Tesi di Laurea, Dipartimento di Scienze della Terra, Università di Firenze.

Bertini A., Magi M., Mazza P.P.A. & Fauquette S. (2010) – Impact of short-term climatic events on latest Pliocene land settings and communities in Central Italy (Upper Valdarno basin). *Quaternary International*, 225.

Billi P., Magi M. & Sagri M. (1983) – Dati sedimentologici relativi al Gruppo di Ponticello. In: I depositi fluvio-lacustri del Valdarno Superiore, Istituto di Geologia e Paleontologia di Firenze.

Billi P., Magi M. & Sagri M. (1987) – Coarse grained low-sinuosity river deposits: example from Plio-Pleistocene Valdarno basin, Italy. In: Ethridge F.G., Flores R.M. & Harvey M.G. Eds., *Recent Development in Fluvial Sedimentology*, S.E.P.M., Spec. Publ., 39.

Billi P., Magi M. & Sagri M. (1991) – Pleistocene lacustrine fan delta deposits of the Valdarno Basin, Italy. *Jour. Sed. Petrology*, 61.

Boccaletti M, Bonini M., Moratti G. & Sani E. (1995) – Nuove ipotesi sulla genesi e sulla evoluzione dei bacini post-nappe in relazione alle fasi compressive Neogenico-Quaternarie dell'Appennino Settentrionale. Estratto da: *Atti del convegno "Rapporti Alpi- Appennino e guida alle escursioni"*. Acc. Naz. Delle Sci..

Borselli V., Ficarelli G. & Torre D. (1981) – Lineamenti geologici del bacino fluvio-lacustre del Valdarno superiore. *Atti IX Congresso Soc. Paleont. It.*

Bouma A.H. (1962) – *Sedimentology of Some Flysch Deposits: a Graphic Approach to Facies Interpretation*. Elsevier, Amsterdam.

Bruni P. & Pandeli E. (1980) – Torbiditi calcaree nel Macigno e nelle Arenarie del Cervarola nell'area del Pratomagno e del Falterona (Appennino sett.). *Mem. Soc. Geol. It.*, 21.

- Canuti P. & Tacconi P. (1975) – Carta idrogeomorfologica e delle risorse idriche del bacino del Fiume Arno. Firenze.
- Canuti P. & Tacconi P. (1992) – La dinamica fluviale dell' Arno. SELCA, Firenze.
- Cecchi M. (1992) – Stratigrafia fisica dell'unità Cervarola–Falterona nell'area del Pratomagno. Tesi di laurea. Dipartimento di Scienze della Terra, Università di Firenze.
- Cecchi M. (1995) – Assetto stratigrafico e tettonico del Pratomagno centro-meridionale: nuovi dati. Mem. Vald. Anno 161, Fascicolo X.
- Cecchi M. & Tangocci F. (2004) – Carta Geologica Regionale della Regione Toscana in scala 1:10.000 Sezione n. 276150, Versione preliminare. In [www.rete.toscana.it](http://www.rete.toscana.it). Coordinatore scientifico Prof. Mario Sagri.
- Cecchi M. & Tangocci F. (2004) – Carta Geologica Regionale della Regione Toscana in scala 1:10.000 Sezione n. 276110, Versione preliminare. In [www.rete.toscana.it](http://www.rete.toscana.it). Coordinatore scientifico Prof. Mario Sagri.
- Cicali F., Ferrini G. & Magi M. (1983) – Dati sedimentologici relativi alla conoide di Loro Ciuffenna (gruppo delle conoidi del Pratomagno e del Chianti). In: I depositi fluvio-lacustri del Valdarno Superiore, Ist. Geol. Paleont. Univ. Firenze.
- Cotroneo G. (1999) – I rapporti tra le conoidi di Castelfranco e Loro Ciuffenna. Tesi di laurea. Dipartimento di Scienze della Terra, Università di Firenze..
- Dainelli N. (2004) – Carta Geologica Regionale della Regione Toscana in scala 1:10.000 Sezione n. 276120, Versione preliminare. In [www.rete.toscana.it](http://www.rete.toscana.it). Coordinatore scientifico Prof. Mario Sagri.
- De Giuli C. (1983) – Aspetti paleontologici della successione del Valdarno Superiore e del bacino di Arezzo. In: I depositi fluvio – lacustri del Valdarno Superiore, Istituto di Geologia e Paleontologia di Firenze.
- Geomap, Abbate E. & Malesani P. (1980) – Direttissima Roma – Firenze, Studio geologico fra Montevarchi e Figline Valdarno. Rapporto interno Ferrovie dello Stato.
- Geomap, Abbate E. & Malesani P. (1980) – Direttissima Roma – Firenze. Tratto Arezzo

- Figline Valdarno. Rapporto interno Ferrovie dello Stato.
- Guaita C. (1980) – Riconoscimento di un livello di riferimento e analisi delle facies torbiditiche al passaggio Macigno – Arenarie del Cervarola (Oligocene Sup.– Miocene inf.) nell'area del Falterona – Pratomagno (Appennino settentrionale). Tesi di laurea. Dipartimento di Scienze della Terra, Università di Firenze.
- Lazzeri L. (1977) – I laghi del Valdarno, Litografia Artistica Cartografica, Firenze.
- Losacco U. (1963) – Osservazioni geologiche sulla parte settentrionale e centrale della catena di Pratomagno. Boll. Soc. Geol. It., 82.
- Lotti B. (1897) – Cenni geologici sul Valdarno. Boll. Soc. Geol. It., 28.
- Lotti B. (1910) – Descrizione geologica della Toscana. Mem. descr. Carta Geol. d' Italia, Roma.
- Magi M. (2004) – Carta Geologica Regionale della Regione Toscana in scala 1:10.000 Sezione n. 276140, Versione preliminare. In [www.rete.toscana.it](http://www.rete.toscana.it). Coordinatore scientifico Prof. Mario Sagri.
- Magi M. (1989) – Carta geologica della conoide di Loro Ciuffenna (Valdarno Superiore). SELCA, Firenze.
- Magi M. (1982) – Indagini stratigrafiche e sedimentologiche sui sedimenti fluvio-lacustri nell' area centro-meridionale del Valdarno Superiore. Tesi di Laurea, Istituto di Geologia, Università di Firenze.
- Magi M. & Sagri M. (1996) – Aeolian sand sheets and terminal fans: sedimentological evidences of arid climatic conditions in the Plio–Pleistocene Valdarno basin (Northern Appennines, Italy). 17<sup>th</sup> Regional African European Meeting of Sedimentology, Sfax.
- Magi M. & Sagri M. (1994) – Il Valdarno superiore, itinerario n°11. In: BE–MA editrice: "Guide geologiche regionali: Appennino Tosco–emiliano", Soc. Geol. It., 4.
- Mancini E. & Romagnoli L. (1966) – Primo contributo alla geomorfologia e alla pedologia del Valdarno Superiore. Boll. Soc. Geol. Ital., 84.
- Marcucci M. (1970) – Notizie paleobotaniche sul Valdarno. Guida alle escursioni del 65°

Congr. Soc. Geol. It..

- Martini I.P. & Sagri M. (1993) – Tectono–sedimentary characteristic of Late Miocene–Quaternary extensional basins of the Northern Apennines. *Earth Sci. Rev.*, 34.
- Masini S. (1999) – Le conoidi di Castelfranco e Pian di Scò. Tesi di laurea, Dipartimento di Scienze della Terra, Università di Firenze.
- Mazzanti R. & Trevisan L. (1978) – Evoluzione della rete idrografica dell'Appennino Settentrionale. *Geogr. Fis. Dinam. Quat.*, 1.
- Menchi F. (1999) – Stratigrafia e sedimentologia delle conoidi di Reggello. Tesi di laurea, Dipartimento di Scienze della Terra, Università di Firenze.
- Merla G. & Abbate E. (1967) – Note illustrative della Carta Geologica d' Italia, F. 114 Arezzo. Servizio Geologico d' Italia.
- Merla G., Bortolotti V. & Passerini P. (1967) – Note illustrative della Carta Geologica d'Italia. Foglio 106, Firenze. Servizio Geologico d' Italia.
- Ristori G. (1886) – Considerazioni geologiche sul Valdarno superiore, sui dintorni di Arezzo e sulla Val di Chiana. *Mem. Soc. Tosc. Sc. Nat...*
- Roberts P.D. (1991) – Palynology of Early Pleistocene Lacustrine Deposits of the Valdarno Basin, Tuscany, Italy", MSc. Thesis, Institute of Earth Studies, University of Wales, Aberystwyth.
- Sagri M. & Magi M. (1992) – 76° Congresso Soc. Geol. It. Guida alle escursioni post-congresso. Escursione 84.
- Sagri M. (1991) – Evoluzione stratigrafica e tettonica del bacino del Valdarno Superiore. *Mem. Valdarnesi*, Ser. 7, 157.
- Sagri M., Martini I.P., Benvenuti M. & Magi M. (1994) – Basin fill architecture of the Neogene–Quaternary extensional basins in the Northern Apennines. In: 15<sup>th</sup> IAS Regional Meeting, Ischia.
- Signorini R. (1945) – Osservazioni geologiche sul Pratomagno e la Consuma. *Boll, Soc, Geol, It.* 68.

Torre D., Albianelli A., Azzaroli A., Ficarelli G., Magi M., Napoleone G. & Sagri M.  
(1993) – Paleomagnetic calibration of late Villafrancan mammalian faunas  
from the upper Valdarno, Central Italy. Mem, Soc, Geol, It., 49.

**ALLEGATO**  
**CENSIMENTO DEI POZZI**



data misura	numero	località	profondità (m)	quota (m s.l.m.)	livello statico assoluto indagini 2011 (m s.l.m.)	livello statico relativo indagini 2011 (m)	livello statico relativo indagini 2008 (m)	livello statico relativo indagini 1992 (m)
	1	Casamora		390				
24/05/2011	2	ex Az. Agricola La Fornacina	60	178		abbandonato	2,35	35
24/05/2011	3	ex Az. Agricola La Fornacina	40	170		abbandonato	1,1	1,2
24/05/2011	4	ex Az. Agricola La Fornacina	6	168		abbandonato	1,1	1,2
24/05/2011	5	Podere Commezzano	23	157	154,9	2,1	3,65	3,6
24/05/2011	6	Podere Commezzano	≈10	156	154	2	piano campagna	
24/05/2011	7	Commezzano – Case Sarri	18/20	168	163,1	4,9	6,5	2
24/05/2011	8	Case Sarri	50	171	163,05	7,95	7,5	
24/05/2011	9	via Lombardia – Vaggio	4	159	158,3	0,7	0,8	
24/05/2011	10	via Lombardia – Vaggio	10,5	155,5	150,65	4,85	1,2	
24/05/2011	11	via Toscana – Vaggio	25	153	142,2	10,8	9,85	
24/05/2011	12	via Toscana – Vaggio	44	153	153	piano campagna		
24/05/2011	13	via Toscana – Vaggio	≈30	154	149,8	4,2	5,4	5,9
24/05/2011	14	via Toscana – Vaggio	6	151	146,9	4,1	4,5	
24/05/2011	15	via Emilia – Vaggio	5	153	148,9	4,1	4,5	
24/05/2011	16	via Liguria – Vaggio	9	153	149	4	5	3,8
24/05/2011	17	via Liguria – Vaggio	≈15	154	151,5	2,5	3,3	3,2
24/05/2011	18	via Liguria – Vaggio	30	156	153	3	4	
24/05/2011	19	via Liguria – Vaggio	12	157	154	≈3	≈4,00	
24/05/2011	20	via Lombardia – Vaggio	4,3	157	156	1	2	2
24/05/2011	21	via Lombardia – Vaggio	≈12	158	153,9	4,1	4,5	
24/05/2011	22	via Sardegna – Vaggio	20	163	158,6	4,4	4,9	2,3
24/05/2011	23	via Sardegna – Vaggio		162	158,9	3,1		
24/05/2011	24	via Sardegna – Vaggio	25	162	158,8	3,2	4	
24/05/2011	25	via Sardegna – Vaggio	18	162,5	158,7	3,8	4,5	
24/05/2011	26	via Sardegna – Vaggio	22	163	158,6	4,4	5	
24/05/2011	27	via Sardegna – Vaggio	12	164	158,8	5,2	6	
24/05/2011	28	via Campania – Vaggio	≈5	159	158,1	0,9	1,2	0,9
24/05/2011	29	Vaggio	≈3	153	151,5	1,5	2	2
24/05/2011	30	via Liguria – Vaggio	17	151	149,5	1,5	2	
24/05/2011	31	via Veneto – Vaggio	16	158	153	5	6,45	
24/05/2011	32	via Lazio – Vaggio	12	148	146,5	1,5	1	
24/05/2011	33	via Lazio interno – Vaggio	25	150	147,3	2,7		
24/05/2011	34	lungo Resco – Vaggio	36	145	140	5		
24/05/2011	35	Strada Comunale Vecchietto	7	138	134,2	3,8	4	
24/05/2011	36	Corti Prime	≈5	142		abbandonato	2,6	2,3
24/05/2011	37	Corti Seconde	8	138	135,3	2,7	2,95	4,1
24/05/2011	38	Corti Seconde		138	135,3	2,7		
24/05/2011	39	Corti Seconde		140,7	137,5	3,2	3,5	5,7
24/05/2011	40	Brolio	80	144	135	9	11	
24/05/2011	41	Brolio I	10	141	134,5	6,5	7,9	7,6
24/05/2011	42	via delle Fornaci – Matassino	6	129,5	124,6	4,9	5	2
24/05/2011	43	via delle Fornaci – Matassino	16	130	125,15	4,85	4,9	1,2
24/05/2011	44	via delle Fornaci – Matassino	5	130	128,7	1,3	1,6	3,2
24/05/2011	45	via delle Fornaci – Matassino	20	128,5	125,3	3,2	3,5	3,2
24/05/2011	46	via delle Fornaci – Matassino	8	128,5	125,5	3	3,2	
24/05/2011	47	via delle Fornaci – Matassino	6	125,5	122,2	3,3	3,5	3,5
24/05/2011	48	via delle Fornaci – Matassino	≈5	125,5	122,2	3,3	3,5	3,6
06/05/2011	49	via L. da Vinci – Matassino	7	126	123	3	4	
06/05/2011	50	via L. da Vinci – Matassino	8	126		non misurabile	5	3,6
06/05/2011	51	via L. da Vinci – Matassino		125,8	122,6	3,2	4	
06/05/2011	52	Matassino	12	130	125	5	6	5,9
06/05/2011	53	via Urbinese – Matassino	28	126	121,5	4,5	4,6	
06/05/2011	54	via Urbinese – Matassino	20	127,5	121	6,5	6,8	7
06/05/2011	55	via Urbinese – Matassino		130	128,2	1,8	2,6	
06/05/2011	56	via Urbinese	7	132,5	130,5	2	3,5	2,7
06/05/2011	57	via Urbinese	9	128	124,7	3,3	4,8	3,5
06/05/2011	58	via Ontaneto	13	132	128	4	4,5	6,4
06/05/2011	59	via Urbinese	15	128,5	124,2	4,3	4,7	5
06/05/2011	60	via Urbinese	9	128	123,95	4,05	4,3	5,3

data misura	numero	località	profondità (m)	quota (m s.l.m.)	livello statico assoluto indagini 2011 (m s.l.m.)	livello statico relativo indagini 2011 (m)	livello statico relativo indagini 2008 (m)	livello statico relativo indagini 1992 (m)
06/05/2011	61	via Urbinese	≈11	128,5	124,45	4,05	7,5	
06/05/2011	62	via Urbinese	20	136,5	132,7	3,8	4,5	
06/05/2011	63	Montalpero	10	127,5	123,15	4,35	5,5	
06/05/2011	64	Montalpero	≈10	128	123	5	5,9	
06/05/2011	65	Montalpero	15	128	123	5	6,2	
06/05/2011	66	Montalpero	≈8	132	129,2	2,8	3,9	3,1
06/05/2011	67	Montalpero	15	128	123,9	4,1	6,2	6,8
06/05/2011	68	Montalpero	≈10	138	131	7	8,3	
06/05/2011	69	Montalpero	≈10	136,5	131	5,5	6,15	
06/05/2011	70	Montalpero	≈10	136	130,5	5,5	6	
06/05/2011	71	Montalpero	≈20	144	138,2	5,8	6	
06/05/2011	72	Montalpero	20	130	127,1	2,9	3,8	
06/05/2011	73	Montalpero	20	128,5		asciutto	asciutto	
06/05/2011	74	Montalpero	10	127,5		asciutto	asciutto	
06/05/2011	75	Montalpero		129,8	126,25	3,55	4,5	
06/05/2011	76	Montalpero	8	127	123,35	3,65	4,85	
06/05/2011	77	Montalpero	8	127	123,35	3,65	4,85	
06/05/2011	78	Montalpero	8	127	123,1	3,9	5,8	5,5
06/05/2011	79	Montalpero		129,5	125,85	3,65	3,5	4
06/05/2011	80	Montalpero		131,2	129,2	2	2,5	
06/05/2011	81	Cilieggiolo	5	136	133	3	3	3,2
06/05/2011	82	Cilieggiolo	6	135,5	133	2,5	2,8	
06/05/2011	83	Cilieggiolo		138	135	3	3	
06/05/2011	84	Cilieggiolo	16	136,5	134,4	2,1	3,5	5,8
06/05/2011	85	Cilieggiolo	≈8	136,5	135,3	1,2	1	1,8
06/05/2011	86	Le Chiuse	12	138,5	134	4,5	1,5	1,9
06/05/2011	87	Vallimaggiori	16,5	142	138,65	3,35	2,25	
06/05/2011	88	Vallimaggiori	15	142	138,65	3,35	2,25	
06/05/2011	89	Vallimaggiori	15	142	138,65	3,35	2,25	
06/05/2011	90	Vallimaggiori		141	139,25	1,75		
26/05/2011	91	Casalino	5	143,5	139,2	4,3	2,15	2,2
06/05/2011	92	Vallimaggiori	5	139,5	138,7	0,8	1	0,9
06/05/2011	93	Vallimaggiori	28	143	134,4	8,6	1,5	9,1
06/05/2011	94	Vallimaggiori	15	146	144,8	1,2	1,5	1,7
06/05/2011	95	Vallimaggiori	15	142,5	132,85	9,65	1,5	
26/05/2011	96	Faella - via dell'Artigianato	20	143		non misurabile	2,1	2,3
26/05/2011	97	Faella - via V.Emanuele	≈5	142	141,15	0,85	0,8	
26/05/2011	98	Faella - via V.Emanuele	≈5	142,5	141,4	1,1	1	
26/05/2011	99	Faella - via Mazzini	4,5	142,5	141,3	1,2	1	
26/05/2011	100	Faella - via del Varco	15	142,5	141	1,5	1,7	
26/05/2011	101	Faella - via del Varco	16	142,5	141,3	1,2	1,5	
26/05/2011	102	Faella - via Mazzini	8	142,5	141,6	0,9	1	
26/05/2011	103	Faella - via V.Emanuele	4,5	143	141,5	1,5	1	
26/05/2011	104	Faella - via Giovanni XXIII	≈5	143,5	142,2	1,3	1,2	
26/05/2011	105	Faella - via Cavour		143,5	142,25	1,25		
26/05/2011	106	Faella - via Cavour	25	145		dismesso	1,5	
26/05/2011	107	Faella - viale Galilei	≈15	145	144	1	1,4	2,4
26/05/2011	108	Faella - viale Galilei	≈10	148	144,8	3,2	4,5	7,7
26/05/2011	109	Faella - viale Galilei	20	149	142,5	6,5	5	
26/05/2011	110	Faella - via Rossini	28	156	147,7	8,3	8,2	
26/05/2011	111	Faella - via Rossini	16	155	146,8	8,2	8	
26/05/2011	112	Faella - viale Galilei	30	156	147,5	8,5	7,8	
26/05/2011	113	Faella - via Cimabue	28	155,5	147,1	8,4	7,7	
26/05/2011	114	Faella - viale Galilei	25	158	150	8	8,4	
26/05/2011	115	Faella - via Cimabue	8	152	143,7	8,3	4,8	
26/05/2011	116	Faella - viale Galilei	52	158	149,7	8,3	8,2	
26/05/2011	117	Faella - viale Galilei	9	158	149,7	8,3	8,5	
16/06/2011	118	Faella - viale Galilei	≈6	150,5		asciutto	3,1	
16/06/2011	119	Faella - via Rantigioni	7	150	147,65	2,35	3	
16/06/2011	120	Faella - via Rantigioni	≈6	149,5	147,7	1,8	2	

data misura	numero	località	profondità (m)	quota (m s.l.m.)	livello statico assoluto indagini 2011 (m s.l.m.)	livello statico relativo indagini 2011 (m)	livello statico relativo indagini 2008 (m)	livello statico relativo indagini 1992 (m)
16/06/2011	121	Faella – viale Galilei	≈ 5	150	147,5	2,5	2,8	
16/06/2011	122	Faella – viale Galilei	12	151,5	149,7	1,8	2,6	
16/06/2011	123	Faella – via Rantigioni	8	151,2	149,8	1,4	2,5	
16/06/2011	124	Faella – via Rantigioni		151,2	149,8	1,4	2,5	
16/06/2011	125	Faella – via Rantigioni		151	149,55	1,45		
16/06/2011	126	Faella – via Rantigioni	5,5	151	149	2		
16/06/2011	127	Faella – via Rantigioni		148	146,95	1,05		
16/06/2011	128	Faella – via Leopardi	5	150,5	147,2	3,3	3,4	
16/06/2011	129	Faella – via Leopardi	10	149,5	146,7	2,8	3	
16/06/2011	130	Faella – viale Galilei	10	149,2	145,7	3,5	2,7	3
16/06/2011	131	Faella – via V.Emanuele	10	149	146,15	2,85	2,9	
16/06/2011	132	Faella – via V.Emanuele	≈ 5	148,5	146,25	2,25	2	
16/06/2011	133	Faella – via V.Emanuele	≈ 5	148,5	146,3	2,2	2,3	
16/06/2011	134	Faella – via Molina	7	149,5	146,5	3	2	
16/06/2011	135	Faella – S.P. Fiorentina	15	142	140,9	1,1	1	1,5
16/06/2011	136	Faella – S.P. Fiorentina		144,5	142,6	1,9	2,1	1,5
16/06/2011	137	Faella – S.P. Fiorentina	19	143,5	142,2	1,3	1,2	
16/06/2011	138	Faella – S.P. Fiorentina	9	142,5	141,3	1,2	1,1	
16/06/2011	139	Faella – Fattoria Raffantini		169,5	162	7,5	8,2	4,8
16/06/2011	140	Faella – Sportico		155,5	154,5	1	1,8	0,6
16/06/2011	141	Faella – Sportico		157	155,55	1,45	1	
16/06/2011	142	Faella – Il Pino		156,5	155	1,5	1,3	
16/06/2011	143	Faella – Il Pino	4	156	155,1	0,9	0,85	
16/06/2011	144	Faella – Il Pino	6	156,5	155,6	0,9	0,9	
16/06/2011	145	Faella – Casariccio	20	162	158	4	3,6	
16/06/2011	146	Faella – Casariccio	≈ 3	160,5	159,6	0,9	1	1
16/06/2011	147	Matassino	6	126	122,5	3,5	4	3,3
16/06/2011	148	Matassino		129	129			
16/06/2011	149	Matassino	7	126,5	122,3	4,2	5	3,7
	150	S.P. Fiorentina		150				
	151	Forocava		145				